

УДК 517.9:534.1

РАСЧЕТ СТАТИСТИЧЕСКИХ ПАРАМЕТРОВ МЕХАНИЧЕСКОЙ МОДЕЛИ
ПЛЕНОЧНОГО ЭЛЕКТРОСТАТИЧЕСКОГО РЕЛЕ

Р.Г.Лукьянова, С.И.Фадеев, К.В.Шведова

Введение

К проблеме описания работы плёночного электростатического реле имеет отношение следующая задача, сформулированная в [1]: найти статический прогиб листовой пластинки с заданными ионами под действием электростатических сил притяжения. На пластинку и неподвижные плоские электроды подаётся разность потенциалов U , в результате чего пластина притягивается к этим электродам (рис.1). Размеры пластины таковы, что толщина h много меньше длины L и ширины. Кроме того, предполагается, что зазор между пластинкой и неподвижными электродами мал по сравнению с другими размерами, но может быть сравним с h . Поэтому можно считать, что нагрузка на элементарную площадку пластины, обусловленная разностью потенциалов U , определяется только величиной зазора в рассматриваемом месте и, следовательно, изгиб пластины будет цилиндрическим.

При этих предположениях форма изгиба пластины в сечении (уравнение средней линии), как это изображено на (рис.1)¹, находится из решения краевой задачи [2] :

1 Все рисунки даны в приложении.

$$\mathcal{D} \frac{d^4 y}{dx^4} = P \frac{d^2 y}{dx^2} + \varphi(x) F(y), \quad (I)$$

$$y = \frac{dy}{dx} = 0 \text{ при } x=0 \text{ и } x=\ell.$$

Здесь x - линейная координата, $y = y(x)$ - величина прогиба, \mathcal{D} - жёсткость пластины, P - сила натяжения, отнесенная к ширине пластины; $\varphi(x)$ - ступенчатая функция, определяемая расположением неподвижных электродов. В нашем случае неподвижные электроды расположены симметрично относительно $x = \frac{\ell}{2}$ (рис. I).

$$\varphi(x) = \begin{cases} 1, & \ell_1 < x < \ell_2, \ell - \ell_2 < x < \ell - \ell_1; \\ 0, & 0 < x < \ell_1, \ell_2 < x < \ell - \ell_2, \ell - \ell_1 < x < \ell. \end{cases} \quad (2)$$

Нагрузка на единичную площадку имеет вид:

$$F(y) = \frac{\epsilon_0 U^2}{2[H + \frac{1}{\beta}(\alpha - H) - y]^2}, \quad (3)$$

где ϵ_0 - диэлектрическая постоянная для пустоты, ϵ - относительная диэлектрическая постоянная, α - расстояние между пластиной и электродами при $y=0$, $(\alpha - H)$ - толщина диэлектрика, покрывающего электроды.

Сделаем переход к безразмерным величинам ξ и U по формулам:

$$x = \ell \xi, \quad y = [H + \frac{1}{\beta}(\alpha - H)]U. \quad (4)$$

При этом равенства (I) примут вид:

$$\beta^2 \frac{d^4 y}{d\xi^4} = \frac{d^2 y}{d\xi^2} + \varphi(\xi) \frac{\alpha}{(1-U)^2}, \quad (5)$$

$$y = \frac{dy}{d\xi} = 0 \text{ при } \xi = 0 \text{ и } \xi = 1.$$

Из (2) следует, что:

$$\varphi(\xi) = \begin{cases} 1, & \xi_1 < \xi < \xi_2, 1 - \xi_2 < \xi < 1 - \xi_1; \\ 0, & 0 < \xi < \xi_1, \xi_2 < \xi < 1 - \xi_2, 1 - \xi_1 < \xi < 1. \end{cases} \quad (6)$$

$$\xi_1 = \frac{1}{\beta} \ell_1, \quad \xi_2 = \frac{1}{\beta} \ell_2, \quad 0 \leq \xi < \xi_2 \leq \frac{1}{2}.$$

Безразмерные коэффициенты α и β связаны с размерными величинами равенствами:

$$\alpha = \frac{\epsilon_0 \ell^4 U^4}{2[H + \frac{1}{\beta}(\alpha - H)]^3 P}, \quad \beta^2 = \frac{\mathcal{D}}{\ell^2 P} = \frac{h^3 E}{12(1-\nu^2) \ell^2 P}, \quad (7)$$

где E - модуль упругости; ν - коэффициент Пуассона.

В силу (6) решение краевой задачи (5) симметрично относительно $\xi = \frac{1}{2}$

$$\max_{\xi \in (0,1)} y(\xi) = y\left(\frac{1}{2}\right) = y_a.$$

Главная особенность рассматриваемой краевой задачи состоит в том, что интенсивность "нагрузки", которая пропорциональна $(1-U)^2$, неограниченно возрастает при $U \rightarrow 1$. Отсюда следует, что решение (5) может существовать лишь для ограниченных значений α : $0 < \alpha < \alpha_*$, причём величина α_* заранее неизвестна и определяется в ходе решения задачи. В дальнейшем будет изложен метод получения достаточно точных верхних и нижних оценок α_* .

Знание α_* позволяет вычислить нижнюю границу так называемых "напряжений срабатывания" реле [1]. Действительно, при $U > U_*$

$$U_*^2 = \alpha_* \frac{2}{\epsilon_0 \ell^2} [H + \frac{1}{\beta}(\alpha - H)]^3 P,$$

решение (I) не существует. Физически это означает, что середина прогнувшейся пластины обязательно достигает значения $y\left(\frac{1}{2}\ell\right) = H$, где помещается контакт.

§ I. Решение задачи статики без учета жёсткости пластины

Отыскание формы прогиба пластины существенно облегчается, если пренебречь жёсткостью. В этом случае порядок дифференциального уравнения (5) понижается до второго, и решение можно

записать в конечном виде. Помимо самостоятельного значения, анализ решения краевой задачи при $\beta=0$ интересен ещё тем, что позволяет выявить некоторые качественные особенности, справедливые и для задачи о прогибе пластинки с учётом жёсткости.

I. Полагая в (5) $\beta=0$, получаем

$$\frac{d^2y}{d\xi^2} + \Psi(\xi) \frac{x}{(1-y)^2} = 0, \quad (I.1)$$

$y=0$ при $\xi=0$ и $\xi=1$,

где $\Psi(\xi)$ определена в (6). Из условия симметрии следует, что достаточно рассмотреть решение (I.1) на $\xi \in (0, \frac{1}{2})$.

Если $\xi \in (0, \xi_1)$ и $\xi \in (\xi_2, \frac{1}{2})$, где $\Psi(\xi) \equiv 0$, то решение (I.1) есть линейная функция. С учётом граничного условия при $\xi=0$ и условия симметрии имеем:

$$y = \frac{y_1}{\xi}, \quad 0 < \xi < \xi_1, \quad y \equiv y_2, \quad \xi_2 < \xi < \frac{1}{2}. \quad (I.2)$$

Здесь $y_1 = y(\xi_1)$, $y_2 = y(\xi_2)$ — постоянные, подлежащие определению из требования непрерывности y и $dy/d\xi$ при $\xi = \xi_1$ и $\xi = \xi_2$. Очевидно,

$$y_2 = y_* = \max_{\xi \in (0, 1)} y(\xi).$$

Решение (I.1) на (ξ_1, ξ_2) , "склеенное" с решением на $(\xi_2, \frac{1}{2})$, удовлетворяет задаче Коши:

$$\frac{d^2y}{d\xi^2} + \frac{x}{(1-y)^2} = 0, \quad (I.3)$$

$$y = y_2, \quad \frac{dy}{d\xi} = 0 \text{ при } \xi = \xi_2.$$

Результат интегрирования (I.3) можно представить в виде:

$$\frac{dy}{d\xi} = \sqrt{\frac{2x(y_2-y)}{(1-y_2)(1-y)}}, \quad (I.4)$$

$$[\xi_2 - \xi(y)]\sqrt{2x} = \sqrt{1-y_2} \left[\sqrt{(1-y)(y_2-y)} + (1-y_2) \ln \frac{\sqrt{1-y} + \sqrt{y_2-y}}{\sqrt{1-y_2}} \right].$$

Приравняв в точке $\xi = \xi_1$ значения y и $dy/d\xi$ слева и справа, получим при заданных x , ξ_1 и ξ_2 систему двух трансцендентных уравнений относительно y_1 и y_2 :

$$(\xi_2 - \xi_1)\sqrt{2x} = \Phi(y_1, y_2) = \sqrt{1-y_2} \left[\sqrt{(1-y_1)(y_2-y_1)} + (1-y_2) \ln \frac{\sqrt{1-y_1} + \sqrt{y_2-y_1}}{\sqrt{1-y_2}} \right], \quad (I.5)$$

$$\xi_1 \sqrt{2x} = \Psi(y_1, y_2) = y_1 \sqrt{\frac{(1-y_1)(1-y_2)}{y_2-y_1}}.$$

Тем самым задача (I.1) свелась к решению системы (I.5), после чего форма прогиба определяется равенствами (I.2) и (I.4).

В частности, при $\xi_1 = 0$ $y_1 = 0$, а $y_2 = y_*$ ищется из решения уравнения

$$\xi_2 \sqrt{2x} = \sqrt{1-y_*} \left[\sqrt{y_*} + (1-y_*) \ln \frac{1+\sqrt{y_*}}{\sqrt{1-y_*}} \right]. \quad (I.6)$$

Непосредственные вычисления показывают, что $\xi_2 \sqrt{2x}$ сначала монотонно растёт от 0 до 0.8366, а затем монотонно убывает от 0.8366 до 0 с увеличением y_* от 0 до 1, причём максимальное значение достигается при $y_* = 0.3883$. Отсюда следует, что при $x < x_*$, где в данном случае $\xi_2 \sqrt{2x_*} = 0.8366$, мы имеем два решения, а при $x > x_*$ решения не существует. На рис. 2 приведена зависимость x от y_* при $\xi_1 = 0$, $\xi_2 = \frac{1}{2}$, качественное поведение которой характерно для других значений ξ_1 и ξ_2 и, как мы увидим ниже, для рассматриваемой задачи вообще.

2. Приведём физическую интерпретацию существования двух решений задачи (I.1) при $0 < x < x_*$ [1]. Пусть по заданным ξ_1 и ξ_2 из решения (I.5) построена зависимость $x(y_*)$, качественно аналогичная (I.6). Обозначим через y_{*1} , y_{*2} и \bar{y}_* соответственно координаты пересечения $x(y_*)$ с прямой $x = \bar{x}$, $\bar{x} < x_*$, и положение максимума x_* , $0 < y_{*1} < \bar{y}_* < y_{*2} < 1$ (рис. 2). Пусть далее расстояние H между пластинкой и поверхностью диэлектрика при $U=0$ определяется из соотношения:

$$H = [H + \frac{1}{\xi}(\alpha - H)] Y_{n_2} \quad (I.7)$$

Рассмотрим обратную зависимость Y_n от α , реализуемую в действительности. Начиная с изменением α от 0 до α_n , Y_n растет, достигая максимального значения \bar{Y}_n , определяемого решением (I.1). Иначе говоря, ветвь монотонного роста Y_n соответствует увеличению максимального прогиба пластины с увеличением интенсивности нагрузки. В дальнейшем при $\alpha > \alpha_n$ решение (I.1) не существует, то есть прогнувшаяся пластина некоторой своей частью "прилипает" к поверхности диэлектрика.

Форма прогиба пластины в этом случае может быть найдена следующим образом. Используя безразмерные переменные (4), обозначим через ξ_n левую границу области "залипания". Тогда имеем:

$$Y_n = Y_{n_2} \text{ при } \xi_n < \xi < \frac{1}{2}, \quad \xi_n < \xi < \xi_n$$

Для остальных ξ , $0 < \xi < \xi_n$, форма прогиба определяется из решения краевой задачи:

$$\frac{d^4 Y}{d\xi^4} + \frac{\alpha}{(1-Y)^2} = 0, \quad (I.8)$$

$Y=0$ при $\xi=0$; $Y=Y_{n_2}$, $\frac{dY}{d\xi}=0$ при $\xi=\xi_n$, где условие равенства нулю производной при $\xi=\xi_n$ есть естественное граничное условие. Задача (I.8) не является однозначно определенной, поскольку значение ξ_n заранее не известно. Легко видеть, что решение этой задачи дает равенства (I.2), (I.4) и (I.5), в которых следует заменить ξ_2 на ξ_n , а Y_2 на Y_{n_2} . В частности, система (I.5) при указанной замене определяет неизвестные Y_n и ξ_n .

Если теперь снова уменьшить α до значения $\bar{\alpha}$, то пластина остается "прилипшей", но область "залипания" будет сокращаться, а именно $\xi_n \rightarrow \xi$, при $\alpha \rightarrow \bar{\alpha}$. Наконец, при

$\alpha = \bar{\alpha}$ решение задачи (I.8) совпадет со вторым решением задачи (I.1), для которого $m\omega \alpha Y(\xi) = Y_{n_2}$. Так как для $\alpha < \bar{\alpha}$ решения задачи (I.8) не существует, то второе решение задачи (I.1) является неустойчивым: при $\alpha = \bar{\alpha}$ пластина скачком занимает положение, в котором максимальный прогиб определяется величиной Y_{n_2} . На рис.2 стрелками показана реализуемая зависимость Y_n от α при возрастании α от 0 до α_n , а за-

тем при убывании α от α_n до 0.

3. Как уже отмечалось, особый интерес представляет вычисление α_n . Для этого обратимся к системе (I.5). При заданных ξ_1 и ξ_2 величина α_n находится из условия равенства нулю якобиана системы

$$\frac{\partial \Phi}{\partial \omega} \cdot \frac{\partial \Psi}{\partial z} - \frac{\partial \Phi}{\partial z} \cdot \frac{\partial \Psi}{\partial \omega} = 0,$$

где обозначено:

$$\omega = Y_n, \quad z = Y_2 - Y_n, \quad \bar{z} = \bar{Y}_n.$$

Подставив сюда значения частных производных, получим:

$$3(1-\bar{z})[(2-3\omega)\bar{z} - \omega(1-2\omega)] \ln \frac{\sqrt{1-\omega} + \sqrt{\bar{z}-\omega}}{\sqrt{1-\bar{z}}} + \\ + [3(2-3\omega)\bar{z} - 4 + 2\omega] \sqrt{(1-\omega)(\bar{z}-\omega)} = 0. \quad (I.9)$$

Если известна функция $\bar{z}(\omega)$, определяемая (I.9), то мы можем вычислить Φ , а также $\Psi/\Phi = \xi_2/(\xi_2 - \xi_1)$ при $z = \bar{z}(\omega)$. Исключив ω , найдем искомые зависимости $(\xi_2 - \xi_1)\sqrt{2\alpha}$ и Y_n как функции $\xi_2/(\xi_2 - \xi_1)$.

При численном построении $\bar{z}(\omega)$ решение (I.9) удобно свести к интегрированию обыкновенного дифференциального уравнения первого порядка, получаемого после дифференцирования (I.9) по ω [3]. Так как левая часть (I.9) при $\omega=0$ совпадает с выражением производной правой части (I.6) по Y_n с точностью до множителя, отличного от нуля, то $\bar{z} = \bar{Y}_n = 0.3883$ при $\omega=0$. Таким образом, $\bar{z}(\omega)$ может быть найдено из решения следующего уравнения:

$$\frac{d\bar{z}}{d\omega} = \frac{T_1(\omega, \bar{z})}{T_2(\omega, \bar{z})}, \quad \bar{z} = 0.3883 \text{ при } \omega=0, \quad (I.10)$$

где

$$T_1(\omega, \bar{z}) = 3(1-\bar{z})(1+3\bar{z}-4\omega)\sqrt{\bar{z}-\omega} \ln \frac{\sqrt{1-\omega} + \sqrt{\bar{z}-\omega}}{\sqrt{1-\bar{z}}} +$$

$$+ \sqrt{1-\omega}(9\bar{z}^2 - 3\bar{z} + 11\omega - 2 - 15\omega\bar{z}),$$

$$T_2(\omega, \bar{z}) = 6(1-\omega - \omega^2 - 2\bar{z} + 3\omega\bar{z})\sqrt{\bar{z}-\omega} \ln \frac{\sqrt{1-\omega} + \sqrt{\bar{z}-\omega}}{\sqrt{1-\bar{z}}} +$$

$$+ 2\sqrt{1-\omega}(6\bar{x} - 2\omega - 1 - 9\omega\bar{x} + 6\omega^2)$$

Остановимся на построении асимптотической зависимости $(\xi_2 - \xi_1)\sqrt{2}\alpha$ для больших $\xi_1/(\xi_2 - \xi_1)$. Легко видеть, что $\bar{x} \rightarrow \omega$ при $\xi_2 \rightarrow \xi_1$, $\bar{x} > \omega$. Покажем, что $\bar{x} = \frac{1}{3}$ при $\xi_2 = \xi_1$, то есть случай равенства \bar{x} и ω достигается в точке $\bar{x} = \omega = \frac{1}{3}$ и, следовательно, асимптотика $(\xi_2 - \xi_1)\sqrt{2}\alpha$ определяется решением (I.10) в окрестности указанной точки.

С этой целью запишем краевую задачу (I.1) в интегральной форме [4].

$$y(\xi) = \alpha \int G(\xi, \theta) \frac{\psi(\theta) d\theta}{[1-y(\theta)]^2}, \quad (I.11)$$

где $G(\xi, \theta)$ — функция Грина (I.1):

$$G(\xi, \theta) = \begin{cases} (1-\theta)\xi, & 0 < \xi < \theta, \\ \theta(1-\xi), & \theta < \xi < 1. \end{cases}$$

Так как решение должно быть симметричным относительно $\xi = \frac{1}{2}$, то (I.11) можно преобразовать к виду:

$$y(\xi) = \alpha \int_{\xi}^{\xi_2} K(\xi, \theta) \frac{d\theta}{[1-y(\theta)]^2}, \quad K(\xi, \theta) = \begin{cases} \xi, & \xi < \theta, \\ \theta, & \xi > \theta. \end{cases}$$

Переходя в последнем равенстве к пределу при $\xi_2 \rightarrow \xi_1$, получаем, что в случае приложения двух разных сосредоточенных сил в точках $\xi = \xi_2$ и $\xi = 1 - \xi_2$, $0 < \xi_2 \leq \frac{1}{2}$, y удовлетворяет уравнению:

$$y_* = \chi \frac{\xi_2}{(1-y_*)^2}, \quad \chi = \alpha(\xi_2 - \xi_1).$$

Отсюда следует, что максимально возможное значение χ достигается при $y_* = \frac{1}{3}$ и равно $4/(27\xi_2)$, $0 < y_* < 1$.

Непосредственная подстановка показывает, что $L_1(\xi, \frac{1}{3}) = L_2(\xi, \frac{1}{3}) = 0$, то есть $\bar{x} = \omega = \frac{1}{3}$ является особой точкой (I.10) [5]. После линеаризации L_1 и L_2 в окрестности особой точки приходим к уравнению

$$\frac{d\bar{x}}{d\omega} = -\frac{1-\omega}{2\bar{x}-\omega-\frac{1}{3}},$$

общее решение которого имеет вид:

$$\frac{(\bar{x}-\omega)(2\bar{x}+\omega-1)}{(1-3\omega)^2} = const.$$

Таким образом, рассматриваемая особая точка — "седло", а решение (I.10) входит в особую точку как

$$\bar{x} = \frac{1}{2}(1-\omega). \quad (I.12)$$

Графики функций \bar{x} от ω , а также y_* и $(\xi_2 - \xi_1)\sqrt{2}\alpha$ от $\xi_1/(\xi_2 - \xi_1)$ приведены на рис.3 и рис.4. На рис.5 дана зависимость $(\xi_2 - \xi_1)\sqrt{2}\alpha$ при $(\xi_2 - \xi_1)/\xi_1 > 1$. Отметим, что численно найденные значения $(\xi_2 - \xi_1)\sqrt{2}\alpha$ совпадают с асимптотическими уже при $(\xi_2 - \xi_1)/\xi_1 < 0,5$.

Найденное значение α_* является, очевидно, нижней оценкой α_* задачи (5) при $\beta > 0$.

§ 2. Задача о прогибе пластины с учетом жесткости

Краевая задача (5) при помощи функции Грина приводится к нелинейному интегральному уравнению типа Гаммерштейна, решение которого мы и будем искать [6].

Для удобства сделаем переход от интервала $(0,1)$ для ξ к интервалу $(-1,1)$, заменив аргумент ξ по формуле:

$$x = 2\xi - 1.$$

При этом (5) приводится к виду:

$$\alpha^2 \frac{d^4 y}{dx^4} = \frac{d^2 y}{dx^2} + \psi(x) \frac{\sigma}{(1-y)^2}, \quad (2.1)$$

$$y = \frac{dy}{dx} = 0 \text{ при } x=1 \text{ и } x=-1.$$

Здесь $\alpha = 2\beta$, $\sigma = \frac{1}{3}\alpha$.

Интервалы (ξ_1, ξ_2) , $(1-\xi_2, 1-\xi_1)$, где $y \equiv 1$, переходят соответственно в $(-\beta, -\alpha)$ и (α, β) , где

$$\alpha = 1 - 2\xi_2, \quad \beta = 1 - 2\xi_1.$$

Обозначив через $G(x, \theta; \alpha)$ функцию Грина рассматриваемой краевой задачи, запишем интегральное представление (2.1) следующим образом:

$$y(x) = \theta \left\{ \int_{-1}^{\theta} G(x, \theta; \alpha) \frac{d\theta}{[1-y(\theta)]^2} + \int_{\theta}^1 G(x, \theta; \alpha) \frac{d\theta}{[1-y(\theta)]^2} \right\} \quad (2.2)$$

($-1 < x < 1$).

I. Обратимся к фактическому построению функции Грина. Пусть $x = \theta$ — место приложения "сосредоточенной единичной силы" и

$$G(x, \theta; \alpha) = \begin{cases} G_-(x, \theta; \alpha), & -1 < x < \theta, \\ G_+(x, \theta; \alpha), & \theta < x < 1. \end{cases}$$

Тогда, по определению, функция Грина удовлетворяет однородному уравнению

$$\alpha^2 \frac{d^4 G}{dx^4} = \frac{d^2 G}{dx^2} \quad (2.3)$$

с граничными условиями:

$$G_- = \frac{dG_-}{dx} = 0 \text{ при } x = -1; \quad G_+ = \frac{dG_+}{dx} = 0 \text{ при } x = 1; \quad (2.4)$$

и условиями сопряжения G_- и G_+ при $x = \theta$ [4]:

$$G_- = G_+, \quad \frac{dG_-}{dx} = \frac{dG_+}{dx}, \quad \frac{d^2 G_-}{dx^2} = \frac{d^2 G_+}{dx^2}, \quad \frac{d^3 G_-}{dx^3} = \frac{d^3 G_+}{dx^3} - \frac{1}{\alpha^2}. \quad (2.5)$$

После интегрирования (2.3) с учётом (2.4) и (2.5) выражения G_- и G_+ получим в виде:

$$G_-(x, \theta; \alpha) = \alpha (\alpha \operatorname{sh} \frac{x}{\alpha} - x \operatorname{ch} \frac{x}{\alpha} - \operatorname{ch} \frac{1}{\alpha} + \alpha \operatorname{sh} \frac{1}{\alpha}) A^-(\theta; \alpha) +$$

$$+ \alpha (\alpha \operatorname{ch} \frac{x}{\alpha} + x \operatorname{sh} \frac{x}{\alpha} + \operatorname{sh} \frac{1}{\alpha} - \alpha \operatorname{ch} \frac{1}{\alpha}) B^-(\theta; \alpha).$$

$$G_+(\theta, \theta; \alpha) = \alpha (\alpha \operatorname{sh} \frac{x}{\alpha} - x \operatorname{ch} \frac{x}{\alpha} + \operatorname{ch} \frac{1}{\alpha} - \alpha \operatorname{sh} \frac{1}{\alpha}) A^+(\theta; \alpha) +$$

$$+ \alpha (\alpha \operatorname{ch} \frac{x}{\alpha} - x \operatorname{sh} \frac{x}{\alpha} + \operatorname{sh} \frac{1}{\alpha} - \alpha \operatorname{ch} \frac{1}{\alpha}) B^+(\theta; \alpha).$$

Здесь

$$A^-(\theta; \alpha) = \frac{\theta - \operatorname{ch} \frac{1-\theta}{\alpha} + \alpha \operatorname{sh} \frac{1-\theta}{\alpha}}{2\alpha (\operatorname{ch} \frac{1}{\alpha} - \alpha \operatorname{sh} \frac{1}{\alpha})}, \quad B^-(\theta; \alpha) = \frac{1 - \operatorname{ch} \frac{1-\theta}{\alpha}}{2\alpha \operatorname{sh} \frac{1}{\alpha}},$$

$$A^+(\theta; \alpha) = \frac{\theta + \operatorname{ch} \frac{1+\theta}{\alpha} - \alpha \operatorname{sh} \frac{1+\theta}{\alpha}}{2\alpha (\operatorname{ch} \frac{1}{\alpha} - \alpha \operatorname{sh} \frac{1}{\alpha})}, \quad B^+(\theta; \alpha) = \frac{1 - \operatorname{ch} \frac{1+\theta}{\alpha}}{2\alpha \operatorname{sh} \frac{1}{\alpha}}$$

Так как рассматриваемая задача симметрична относительно $x = 0$, то интегральное уравнение (2.2) можно упростить и записать в виде:

$$y(x) = \theta \int_{-1}^{\theta} K(x, \theta; \alpha) \frac{d\theta}{[1-y(\theta)]^2}, \quad (2.7)$$

где

$$K(x, \theta; \alpha) = \begin{cases} -1 - x - \frac{\alpha}{\operatorname{sh} \frac{1}{\alpha}} [\operatorname{ch} \frac{x}{\alpha} - \operatorname{ch} \frac{1}{\alpha} + (\operatorname{ch} \frac{1-x}{\alpha} - 1) \operatorname{ch} \frac{x}{\alpha}], & \theta < x, \\ 1 - \theta - \frac{\alpha}{\operatorname{sh} \frac{1}{\alpha}} [\operatorname{ch} \frac{1}{\alpha} - \operatorname{ch} \frac{\theta}{\alpha} + (\operatorname{ch} \frac{1-\theta}{\alpha} - 1) \operatorname{ch} \frac{x}{\alpha}], & \theta > x. \end{cases}$$

Остановимся на предельных выражениях $K(x, \theta; \alpha)$ при $\alpha \rightarrow 0$ и $\alpha \rightarrow \infty$. В первом случае

$$K(x, \theta; 0) = \begin{cases} 1 - x, & \theta < x, \\ 1 - \theta, & \theta > x, \end{cases} \quad (2.8)$$

а (2.7) описывает прогиб пластинки без учёта жёсткости. Во втором случае

$$K(x, \theta; \alpha) \rightarrow \frac{1}{\alpha^2} \bar{K}(x, \theta) \text{ при } \alpha \rightarrow \infty,$$

где

$$\bar{K}(x, \theta) = \begin{cases} \frac{1}{12} (1-x)^2 (1+2x-3\theta^2), & \theta < x, \\ \frac{1}{12} (1-\theta)^2 (1+2\theta-3x^2), & \theta > x. \end{cases} \quad (2.9)$$

Заметим, что отношение θ/α^2 не содержит p

$$\frac{\theta}{\alpha^2} = \frac{\epsilon_e l^4 U^2}{32 [H + \frac{1}{\epsilon} (\alpha - H)]^3 D} = q, \quad (2.10)$$

и, следовательно, уравнение

$$y(x) = q \int_{-1}^{\theta} \bar{K}(x, \theta) \frac{d\theta}{[1-y(\theta)]^2} \quad (2.11)$$

описывает прогиб пластиинки без учёта натяжения.

2. Будем применять метод последовательных приближений [6] для решения (2.7):

$$y^{(0)}(x) = \int_{\alpha}^{\beta} K(x, \theta; \alpha) d\theta,$$

$$y^{(1)}(x) = \int_{\alpha}^{\beta} K(x, \theta; \alpha) \frac{d\theta}{[1 - y^{(0)}(\theta)]^2}$$

и т.д.

$$y^{(k)}(x) = \int_{\alpha}^{\beta} K(x, \theta; \alpha) \frac{d\theta}{[1 - y^{(k-1)}(\theta)]^2}, \quad k=1, 2, \dots \quad (2.12)$$

Нетрудно видеть, что

$$0 < y^{(0)} < y^{(1)} < \dots < y^{(k)} < \dots, \quad \alpha \leq x \leq \beta.$$

В результате задача сводится к отысканию тех значений β' , при которых последовательность функций (2.12) равномерно сходится. Обычным путём можно показать, что в этом случае предел последовательности является решением (2.7).

Рассмотрим вначале вывод простейших оценок β' . Для этого составим функциональную последовательность по следующему правилу:

$$z^{(0)}(x) = \int_{\alpha}^{\beta} K(x, \theta; \alpha) d\theta = y^{(0)}(x),$$

$$z^{(1)}(x) = \frac{\beta'}{[1 - z^{(0)}(\alpha)]^2} \int_{\alpha}^{\beta} K(x, \theta; \alpha) d\theta,$$

и т.д.

$$z^{(k)}(x) = \frac{\beta'}{[1 - z^{(k-1)}(\alpha)]^2} \int_{\alpha}^{\beta} K(x, \theta; \alpha) d\theta, \quad (2.13)$$

причём

$$0 < z^{(0)} < z^{(1)} < \dots < z^{(k)} < \dots, \quad \alpha \leq x \leq \beta.$$

Пусть существует предел последовательности (2.13), который обозначим через $z(x)$:

$$z(x) = \frac{\beta'}{[1 - z(\alpha)]^2} \int_{\alpha}^{\beta} K(x, \theta; \alpha) d\theta, \quad y_* = z(0) \quad (2.14)$$

Если выполнено условие $y_* - z^{(k)}(0) < \varepsilon$, где $\varepsilon > 0$ – произвольно малое число, то $|z(x) - z^{(k)}(x)| < \varepsilon$, в силу определения K , то есть имеет место равномерная сходимость $z^{(k)}(x)$ к $z(x)$. Из (2.14) следует, что предел числовой последовательности $z^{(k)}(0)$ есть решение уравнения

$$\beta' = \frac{y_* [1 - z(\alpha)]^2}{\int_{\alpha}^{\beta} K(0, \theta; \alpha) d\theta}, \quad z(\alpha) = y_* \frac{\int_{\alpha}^{\beta} K(\alpha, \theta; \alpha) d\theta}{\int_{\alpha}^{\beta} K(0, \theta; \alpha) d\theta}, \quad (2.15)$$

где β' – заданное число, а непосредственное интегрирование даёт следующие выражения:

$$\begin{aligned} \int_{\alpha}^{\beta} K(0, \theta; \alpha) d\theta &= (\beta - \alpha)(1 - \frac{b+\alpha}{2}) - \alpha(\beta - \alpha) \operatorname{th} \frac{1}{2\alpha} - \frac{2\alpha^2}{\operatorname{ch}^2 \frac{1}{2\alpha}} \operatorname{sh} \frac{b-\alpha}{2\alpha} \operatorname{sh} \frac{1-b-\alpha}{2\alpha}, \\ \int_{\alpha}^{\beta} K(\alpha, \theta; \alpha) d\theta &= (\beta - \alpha)(1 - \frac{b+\alpha}{2}) - \frac{d(b-\alpha)}{\operatorname{sh}^2 \frac{1}{2\alpha}} (\operatorname{ch} \frac{b}{2\alpha} - \operatorname{ch} \frac{\alpha}{2\alpha}) - \frac{2\alpha^2}{\operatorname{sh}^2 \frac{1}{2\alpha}} \times \\ &\quad \times \operatorname{sh} \frac{b-\alpha}{2\alpha} (\operatorname{ch} \frac{\alpha}{2\alpha} \operatorname{ch} \frac{2-\alpha-b}{2\alpha} - \operatorname{ch} \frac{b+\alpha}{2\alpha}). \end{aligned}$$

С другой стороны, (2.15) определяет функцию $\beta'(y_*)$, о $y_* < 1$, максимальное значение которой β'_* равно

$$\beta'_* = \frac{4}{27} \left[\int_{\alpha}^{\beta} K(\alpha, \theta; \alpha) d\theta \right]^3, \quad (2.16)$$

и, следовательно, при $\beta' > \beta'_*$ решения (2.15) не существует. Таким образом, условие $\beta' < \beta'_*$ является необходимым и достаточным для равномерной сходимости (2.13).

Поскольку $y^{(k)}(x)$ можно рассматривать как решение задачи о прогибе пластиинки под действием "нагрузки" с интенсивностью $\beta' [y^{(k-1)}(x)]^{-2}$, то, увеличивая в каждом приближении интен-

связь "нагрузки" до $\delta^{[1-\gamma^{(k-1)}(\alpha)]^{-2}}$, мы тем самым ухудшаем сходимость (2.12). Отсюда следует вывод, что последовательность (2.12) равномерно сходится, если выполнено условие равномерной сходимости (2.13), то есть при $0 < \delta < \delta_*$, а найденное из (2.15) значение $\delta^{(y_*)}$ является нижней оценкой δ задачи (2.7) при том же y_* .

Заметим, что зависимость $\delta^{(y_*)}$ качественно совпадает с $\sigma(y_*)$, приведенной на рис.2.

Для нахождения верхней оценки δ задачи (2.7) рассмотрим функциональную последовательность вида

$$\rho^{(0)}(x) = \delta'' \int_a^b K(x, \theta; \alpha) d\theta - y^{(0)}(x),$$

$$\rho^{(1)}(x) = \frac{-\delta''}{[1 - \rho^{(0)}(b)]^2} \int_a^b K(x, \theta; \alpha) d\theta,$$

и т.д.

$$\rho^{(k)}(x) = \frac{\delta''}{[1 - \rho^{(k-1)}(b)]^2} \int_a^b K(x, \theta; \alpha) d\theta, \quad (2.17)$$

причем по-прежнему

$$0 < \rho^{(0)} < \rho^{(1)} < \dots < \rho^{(k)} < \dots, \quad a \leq x \leq b.$$

Пусть существует предел последовательности (2.17) $\rho(x)$. Вполне аналогичные рассуждения приводят к выводу о том, что равенство

$$\delta' = \frac{y_* [1 - \rho(b)]^2}{\int_a^b K(0, \theta; \alpha) d\theta}, \quad \rho(b) = y_* \frac{\int_a^b K(b, \theta; \alpha) d\theta}{\int_a^b K(0, \theta; \alpha) d\theta}, \quad (2.18)$$

где

$$\begin{aligned} \int_a^b K(b, \theta; \alpha) d\theta = & (1-b)(b-a) - \frac{\alpha(b-a)}{\sinh \frac{b-a}{\alpha}} (\cosh \frac{b}{\alpha} - \cosh \frac{a}{\alpha}) - \frac{2\alpha^2}{3 \sinh^2 \frac{b-a}{\alpha}} \times \\ & \times (\cosh \frac{1-b}{\alpha} - 1) \sinh \frac{b-a}{2\alpha} \cosh \frac{b+a}{2\alpha}, \end{aligned}$$

определяет верхнюю оценку δ задачи (2.7) при том же y_* . Решения (2.18) и, следовательно, решения (2.7) не существует, если

$$\delta' > \delta_*' = \frac{4}{27} \left[\int_a^b K(b, \theta; \alpha) d\theta \right]^{-1}, \quad (2.19)$$

поскольку из расходимости последовательности (2.17) вытекает расходимость последовательности (2.12).

Таким образом, мы нашли, что последовательность (2.12) равномерно сходится и решение (2.7) существует, если $0 < \delta < \delta_*$, где δ_* оценивается значениями δ'_* и δ''_* : $\delta'_* < \delta_* < \delta''_*$. При этом кривая $\delta^{(y_*)}$ задачи (2.7) заключена между кривыми $\delta^{(y_*)}$ и $\delta''^{(y_*)}$: $\delta^{(y_*)} < \delta^{(y_*)} < \delta''^{(y_*)}$, $0 < y_* < 1$.

Оценки δ' и δ'' , найденные из рассмотрения сходимости последовательностей $\gamma^{(k)}(x)$ и $\rho^{(k)}(x)$, могут быть получены непосредственно из (2.7). Действительно, из физической интерпретации задачи следует, что решение (2.7) – монотонно изменяющаяся на $[0,1]$ функция, причем $y(a) > y(x) > y(b)$, $a < x < b$. Имея в виду правую часть (2.7), будем аппроксимировать $y(x)$ одной "ступенькой": $y = y(a)$ при $a \leq x \leq b$, например. Интенсивность "нагрузки" окажется при этом заниженной. Внося постоянную $[1 - y(a)]^{-2}$ за знак интеграла, получаем выражение, совпадающее с $\gamma(x)$, откуда и следует (2.15).

Отметим два следствия.

а) Так как при $\delta \rightarrow \alpha$ $\delta'' \rightarrow \delta'_*$, то асимптотическое поведение δ_* задачи (2.7) описывается формулой:

$$\delta_* = \frac{4}{27(b-a)} \left[1 - \alpha - \frac{\alpha}{\sinh^2 \frac{b-a}{\alpha}} (\cosh \frac{b}{\alpha} - 2 \cosh \frac{a}{\alpha} + \cosh \frac{a}{\alpha} \cosh \frac{b-a}{\alpha}) \right]^{-1},$$

$$\delta \rightarrow \alpha$$

б) Пусть $\alpha = 0$ и $b = 1$. Тогда, как следует из (2.16),

$$\delta_* > \delta'_* = \frac{8}{27} (1 - 2 \alpha \tanh \frac{1}{2\alpha})^{-1}$$

Сопоставляя δ'_* при различных α со значением $\delta_* = 0.350$ при $\alpha = 0$ (см. § I, I), получаем, что влияние жесткости пластины на величину "напряжения срабатывания" становится существенным уже при $1/\sqrt{D/P} \sim 10^{-1}$.

3. Изложенный метод получения простейших оценок δ при

одноступенчатой аппроксимации $y(x)$ естественным образом обобщается на случай аппроксимации $y(x)$ многоступенчатой функцией, что позволяет вычислить более точные оценки δ .

Разобьем $[\alpha, \beta]$ на N частей с точками разбиения x_s ,

$$x_s = x_0 + s\delta, \quad \delta = \frac{\beta - \alpha}{N}, \quad s = 0, 1, 2, \dots, N; \quad x_0 = \alpha, \quad x_N = \beta, \quad (2.20)$$

и будем задавать аппроксимирующую функцию в виде:

$$\text{а) } y = y(x_s) \equiv y_s, \quad x_s \leq x < x_{s+1}, \quad (2.21)$$

$$\text{б) } y = y(x_{s+1}) \equiv y_{s+1}, \quad x_s < x \leq x_{s+1}.$$

Опираясь на свойство монотонности $y(x)$, можно утверждать, что в случае а) мы имеем повышенную интенсивность "нагрузки", а в случае б) интенсивность "нагрузки" занижена. Кроме того, с ростом числа разбиений повышенная интенсивность "нагрузки" уменьшается, а заниженная интенсивность "нагрузки" увеличивается, но характер аппроксимаций при этом не меняется.

На рис. 6 в качестве примера приведены случаи а) и б) при $N=4$.

Запишем интегральное уравнение (2.7) в более развернутом виде. После подстановки в правую часть соответствующего выражения функции Грина получим

$$0 < x \leq \alpha,$$

$$\frac{1}{\delta} y(x) = \int_{\alpha}^{\delta} \left[1 - \theta - \frac{\alpha}{\operatorname{sh} \frac{\theta}{\alpha}} [\operatorname{ch}' \frac{1-\theta}{\alpha} - \operatorname{ch} \frac{\theta}{\alpha} + (\operatorname{ch} \frac{1-\theta}{\alpha} - 1) \operatorname{ch} \frac{x}{\alpha}] \right] \frac{d\theta}{[1-y(\theta)]^2};$$

$$\alpha \leq x \leq \beta,$$

$$\begin{aligned} \frac{1}{\delta} y(x) = & \int_{\alpha}^x \left[1 - \theta - \frac{\alpha}{\operatorname{sh} \frac{\theta}{\alpha}} [\operatorname{ch}' \frac{1-\theta}{\alpha} - \operatorname{ch} \frac{\theta}{\alpha} + (\operatorname{ch} \frac{1-\theta}{\alpha} - 1) \operatorname{ch} \frac{\theta}{\alpha}] \right] \frac{d\theta}{[1-y(\theta)]^2} + \\ & + \int_x^{\beta} \left[1 - \theta - \frac{\alpha}{\operatorname{sh} \frac{\theta}{\alpha}} [\operatorname{ch}' \frac{1-\theta}{\alpha} - \operatorname{ch} \frac{\theta}{\alpha} + (\operatorname{ch} \frac{1-\theta}{\alpha} - 1) \operatorname{ch} \frac{x}{\alpha}] \right] \frac{d\theta}{[1-y(\theta)]^2}, \end{aligned} \quad (2.22)$$

$$\beta \leq x < 1,$$

$$\begin{aligned} \frac{1}{\delta} y(x) = & \int_{\alpha}^{\beta} \left[1 - x - \frac{\alpha}{\operatorname{sh} \frac{\theta}{\alpha}} [\operatorname{ch}' \frac{1-x}{\alpha} - \operatorname{ch} \frac{\theta}{\alpha} + (\operatorname{ch} \frac{1-x}{\alpha} - 1) \times \right. \\ & \left. \times \operatorname{ch} \frac{\theta}{\alpha}] \right] \frac{d\theta}{[1-y(\theta)]^2}. \end{aligned}$$

Для определенности выберем случай а) (2.21) и рассмотрим элементарный отрезок по θ , на котором аппроксимируемая функция равна y_s , то есть

$$\frac{1}{[1-y(\theta)]^2} = \frac{1}{(1-y_s)^2} \equiv f_s, \quad x_s \leq \theta < x_{s+1}.$$

Вычислим коэффициенты при f_s , относящиеся к δ . Имеем:

$$\begin{aligned} A_s(x) = & \frac{1}{\delta} \int_{x_s}^{x_{s+1}} \left[1 - \theta - \frac{\alpha}{\operatorname{sh} \frac{\theta}{\alpha}} [\operatorname{ch}' \frac{1-\theta}{\alpha} - \operatorname{ch} \frac{\theta}{\alpha} + (\operatorname{ch} \frac{1-\theta}{\alpha} - 1) \operatorname{ch} \frac{\theta}{\alpha}] \right] d\theta = \\ = & 1 - x - \frac{\alpha}{\operatorname{sh} \frac{1}{\alpha}} (\operatorname{ch}' \frac{1}{\alpha} - \operatorname{ch} \frac{x}{\alpha}) - \frac{2\alpha^2}{\delta \operatorname{sh} \frac{\delta}{2\alpha}} (\operatorname{ch} \frac{1-x}{\alpha} - 1) \operatorname{ch} \frac{2x_s + \delta}{2\alpha}. \end{aligned}$$

$$B_s(x) = \frac{1}{\delta} \int_{x_s}^{x_{s+1}} \left[1 - \theta - \frac{\alpha}{\operatorname{sh} \frac{\theta}{\alpha}} [\operatorname{ch}' \frac{1-\theta}{\alpha} - \operatorname{ch} \frac{\theta}{\alpha} + (\operatorname{ch} \frac{1-\theta}{\alpha} - 1) \operatorname{ch} \frac{x}{\alpha}] \right] d\theta = (2.23)$$

$$= 1 - x_s - \frac{\delta}{2} - \frac{\alpha}{\operatorname{sh} \frac{1}{\alpha}} (\operatorname{ch}' \frac{1}{\alpha} - \operatorname{ch} \frac{x}{\alpha}) - \frac{2\alpha^2}{\delta \operatorname{sh} \frac{\delta}{2\alpha}} \times$$

$$\times (\operatorname{ch} \frac{x}{\alpha} \operatorname{ch} \frac{2-2x_s-\delta}{2\alpha} - \operatorname{ch} \frac{2x_s+\delta}{2\alpha}).$$

С использованием (2.23) результат аппроксимации $y(\theta)$ в равенствах (2.22) N -ступенчатой функцией можно представить в виде:

$$0 < x \leq \alpha, \quad y(x) = \delta \sum_{s=0}^{N-1} B_s(x) f_s,$$

$$\alpha \leq x_i < \beta, \quad y(x_i) = \delta \sum_{s=0}^{N-1} \left\{ A_s(x_i) f_s + \sum_{s=i}^{N-1} B_s(x_i) f_s \right\}, \quad (2.24)$$

$$\beta \leq x < 1, \quad y(x) = \delta \sum_{s=0}^{N-1} A_s(x) f_s,$$

где x_i — одна из точек разбиения $[\alpha, \beta]$, причем при $i=0$

$$y(x_i) = \delta \delta \sum_{s=0}^{N-1} B_s(x_i) f_s$$

Второе равенство (2.24) после подстановки в него x_i , $i=0, 1, 2, \dots, N-1$, образует систему N трансцендентных уравнений относительно $y_i = y(x_i)$. Естественно ожидать, что решение этой системы может быть найдено лишь при тех значениях δ , при которых существует решение (2.7): $0 < \delta < \delta_*$. Однако величина δ_* заранее неизвестна. С другой стороны, опираясь на физическую интерпретацию задачи, можно утверждать, что зависимость $\delta(y_*)$ задачи (2.7) качественно аналогична $\alpha(y_*)$ (рис.2), то есть $\delta = \delta(y_*)$, $0 < y_* < 1$, — однозначная функция. Поэтому каждому значению y_* соответствует свое значение δ . Отсюда следует, что решение обратной задачи (2.7), в которой задано не δ , а y_* , $0 < y_* < 1$, всегда существует и единственно.

Исключим δ , поделив обе части равенства системы на

$$y_* = y(0) = \delta \delta \sum_{s=0}^{N-1} B_s(0) f_s$$

Получим следующую систему уравнений, представляющую обратную задачу (2.7)

$$y_0 = y_* \frac{\sum_{s=0}^{N-1} B_s(x_0) f_s}{\sum_{s=0}^{N-1} B_s(0) f_s}, \quad (2.25)$$

$$y_i = y_* \frac{\sum_{s=0}^{i-1} A_s(x_i) f_s + \sum_{s=i}^{N-1} B_s(x_i) f_s}{\sum_{s=0}^{N-1} B_s(0) f_s}, \quad i=1, 2, \dots, N-1,$$

где y_* — заданный параметр. Если (2.25) решена, то значение δ , соответствующее заданному y_* , вычисляется по формуле

$$\delta = y_* [\delta \sum_{s=0}^{N-1} B_s(0) f_s]^{-1}, \quad (2.26)$$

а правые части первого и третьего равенств (2.24) становятся определенными. Подчеркнем, что (2.26) дает нижнюю оценку $\delta(y_*)$ задачи (2.7) при том же y_* .

Выражения, аналогичные (2.25) и (2.26), имеют место и в случае б) (2.21). При этом система уравнений относительно y_1, y_2, \dots, y_N записывается следующим образом:

$$y_i = y_* \frac{\sum_{s=1}^i A_{s-1}(x_i) f_s + \sum_{s=i+1}^N B_{s-1}(x_i) f_s}{\sum_{s=1}^N B_{s-1}(0) f_s}, \quad i=1, 2, \dots, N-1, \\ y_N = y_* \frac{\sum_{s=1}^N B_{s-1}(x_N) f_s}{\sum_{s=1}^N B_{s-1}(0) f_s}. \quad (2.27)$$

После решения (2.27) можем найти верхнюю оценку $\delta(y_*)$

$$\delta = y_* [\delta \sum_{s=1}^N B_{s-1}(0) f_s]^{-1}, \quad (2.28)$$

а также значения y для x , не принадлежащих $[\alpha, \beta]$,

$$0 < x < \alpha, \quad y(x) = \delta \delta \sum_{s=1}^N B_{s-1}(x) f_s,$$

$$\beta < x < 1, \quad y(x) = \delta \delta \sum_{s=1}^N A_{s-1}(x) f_s.$$

Будем решать систему (2.25) или (2.27) методом последовательных приближений. За нулевое приближение возьмем $y_*^{(0)}$, которые получаются при подстановке в правую часть (2.25) $f_s = 1$:

$$y_0^{(0)} = y_* \frac{\sum_{s=0}^{N-1} B_s(x_0)}{\sum_{s=0}^{N-1} B_s(0)},$$

$$y_i^{(k)} = y_* \frac{\sum_{s=0}^{i-1} A_s(x_i) + \sum_{s=0}^{N-1} B_s(x_i)}{\sum_{s=0}^{N-1} B_s(0)}, \quad i=1, 2, \dots, N-1,$$

то есть нулевое приближение соответствует $\tau(x)$ (2.14). Вычислив $f_s^{(k-1)} \equiv [1 - y_s^{(k-1)}]^{-2}$ из $(k-1)$ -го приближения, найдём k -е приближение в виде $k=1, 2, \dots$

$$y_s^{(k)} = y_* \frac{\sum_{s=0}^{N-1} B_s(x_0) f_s^{(k-1)}}{\sum_{s=0}^{N-1} B_s(0) f_s^{(k-1)}}$$

$$y_i^{(k)} = y_* \frac{\sum_{s=0}^{i-1} A_s(x_i) f_s^{(k-1)} + \sum_{s=i}^{N-1} B_s(x_i) f_s^{(k-1)}}{\sum_{s=0}^{N-1} B_s(0) f_s^{(k-1)}}, \quad i=1, 2, \dots, N-1.$$

Не занимаясь вопросами, связанными с обоснованием применения метода последовательных приближений к системам (2.25) и (2.27), лишь заметим, что на практике итерационный процесс сходится очень быстро. Естественно оценивать сходимость по относительной погрешности

$$\Sigma = \frac{\delta^{(k+1)} - \delta^{(k)}}{\delta^{(k+1)}},$$

где $\delta^{(k)}$ (для оценки снизу, например) вычисляется по формуле

$$\delta^{(k)} = y_* \left[\delta \sum_{s=0}^{N-1} B_s(0) f_s^{(k)} \right].$$

В рассмотренных ниже примерах при заданной относительной погрешности, равной 10^{-3} , требовалось всего 3-4 итерации. Кроме того, результаты решений (2.25) и (2.27) при $\alpha=0$ согласуются с точным решением задачи, изложенным в § I.

Таким образом, рассматриваемая задача сводится к решению систем (2.25) и (2.27), состоящих из N трансцендентных уравнений, которые являются двусторонними оценками точного решения

(2.7). При этом по заданному y_* , $0 < y_* < 1$, с известной точностью вычисляется δ (2.7). Перебором y_* можно, в частности, оценить максимальное значение δ_* .

В заключение остановимся на предельных случаях. При малых значениях α использование (2.23) для расчета $A_s(x)$ и $B_s(x)$ становится затруднительным. Поэтому (2.23) следует преобразовать к виду:

$$\begin{aligned} A_s(x) &= 1 - x - \alpha \frac{1 + e^{-\frac{x}{\alpha}} - e^{\frac{1-x}{\alpha}} (1 + e^{-\frac{x}{\alpha}})}{1 - e^{-\frac{x}{\alpha}}} - \frac{\alpha^2 (1 - e^{-\frac{x}{\alpha}})}{2\delta (1 - e^{-\frac{x}{\alpha}})} \times \\ &\quad \times e^{-\frac{x-x_{s+1}}{\alpha}} \frac{(1 - e^{-\frac{1-x}{\alpha}})^2 (1 + e^{-\frac{2x_s+\delta}{\alpha}})}{(1 - e^{-\frac{x}{\alpha}})^2 (1 + e^{-\frac{2x_s+\delta}{\alpha}})}, \quad x \geq x_{s+1}, \\ B_s(x) &= 1 - x_s - \frac{\delta}{2} - \alpha \frac{1 + e^{-\frac{x}{\alpha}} - e^{\frac{1-x}{\alpha}} (1 + e^{-\frac{x}{\alpha}})}{1 - e^{-\frac{x}{\alpha}}} - \frac{\alpha^2 (1 - e^{-\frac{x}{\alpha}})}{2\delta (1 - e^{-\frac{x}{\alpha}})} \times (2.29) \\ &\quad \times e^{-\frac{x_s-x}{\alpha}} \left[\frac{(1 + e^{-\frac{2x}{\alpha}})(1 + e^{-\frac{2-2x_s-\delta}{\alpha}})}{(1 + e^{-\frac{2x_s+\delta}{\alpha}})(1 + e^{-\frac{2-2x_s-\delta}{\alpha}})} - \right. \\ &\quad \left. - 2e^{\frac{1+x-x_{s+1}}{\alpha}} \frac{-2x_s+\delta}{(1 + e^{-\frac{2x_s+\delta}{\alpha}})} \right], \quad x \leq x_s. \end{aligned}$$

Если $\alpha=0$, то

$$A_s(x) = 1 - x, \quad B_s(x) = 1 - x_s - \frac{\delta}{2}, \quad y_0 = y_*. \quad (2.30)$$

Приближенный способ решения задачи о прогибе пластинки без учета жесткости более предпочтителен, чем поиск точного решения, если имеется несколько (больше двух) симметрично расположенных относительно середины притягивающих электродов.

Наконец, если $\alpha=\infty$, то система равнств, к которой относится решение задачи о прогибе пластинки без учета напряжения, в случае а) (2.21) имеет вид (2.25), (2.26) и (2.27), (2.28) в случае б) (2.21), где вместо δ , $A_s(x)$ и $B_s(x)$ нужно подставить g (2.10), $\bar{A}_s(x)$ и $\bar{B}_s(x)$,

$$\bar{A}_s(x) = \frac{1}{72} (1 - x)^2 (1 + 2x - x_{s+1}^2 - x_{s+1} x_s - x_s^2),$$

$$\bar{B}_s(x) = \frac{1}{12} \left[1 + \frac{1}{2} (x_{s+1} + x_s)(x_{s+1}^2 + x_s^2) - x_{s+1}^2 - x_{s+1}x_s - x_s^2 - 3x^2 \right. \\ \left. \times \left(1 - x_{s+1} - x_s + \frac{x_{s+1}^2 + x_{s+1}x_s + x_s^2}{3} \right) \right].$$

4. В качестве примера приводится решение задачи (2.7) и (2.11) при $\alpha = 0.2$, $b = 0.84$ и различных $\alpha \geq 0$, причем значения параметров α и b были заданы в соответствии с геометрией плечевого электростатического реле. Все основные результаты получены при $N=32$, так как найденные в этом случае оценки вполне удовлетворяют потребностям практики. Другие значения N задавались с целью изучения влияния числа разбиений интервала интегрирования на точность оценок. Результаты вычислений представлены в виде графиков на рис. 7-12. Сделаем краткие пояснения к рисункам. На рис. 7 показан характер сходимости итерационного процесса при решении систем (2.25) и (2.27) при $\alpha = 0.2$, $N=32$, $U_* = 1$. Результаты итоговых приближений (2.25) и (2.27) совпадают, что, как легко видеть, имеет место для любых α и N . Начиная с первого, приближение мало отличается от последующих и в то же время близки между собой. Сходимость же итерационного процесса по δ , как и следовало ожидать, несколько худшая (см. табл. I)*. Аналогичная сходимость наблюдалась и при других значениях U_* и α .

На рис. 8 приведены результаты вычислений δ по формулам (2.26) и (2.28) при $\alpha = 0.2$ в зависимости от N . Из них, в частности, можно составить табл. 2, описывающую уменьшение разности между верхней и нижней оценками δ_* задачи (2.7) с ростом N (разность вычислена с точностью до 10^{-3}). Если за величину δ_* взять среднее значение между оценками, равное 1.04 при $N = 32$, то ошибка будет иметь порядок одного процента.

Двусторонние оценки δ задачи (2.7) как функции U_* при $\alpha = 0, 0.1, 0.2, 0.3; N = 32$ даны на рис. 9. Отсюда, например, видно, что при фиксированном U_* погрешность оценок δ возрастает с увеличением α . Кроме того, результаты вычислений подтверждают вывод о том, что учет параметра α при определении δ_* становится существенным, начиная с α порядка 10^{-1} .

В качестве примеров на рис. 10 и 11 даны решения систем

* Все таблицы приведены в приложении.

(2.26) и (2.28) при $U_* = 0.3$ и $U_* = 0.7$, $N = 32$ и различных α , соответствующие оценкам сверху и снизу, которые практически совпадают.

Решение задачи о статическом прогибе пластинки представляет интерес прежде всего как возможность теоретически вычислить наименшее "напряжение срабатывания". Записав уравнение равновесия в безразмерных величинах, мы свели число независимых параметров, определяющих δ_* , до трех, и, таким образом, δ_* является функцией только α , если заданы α и b . Рис. 12 содержит основной результат рассматриваемой задачи при трех характерных сочетаниях α и b : 1) $\alpha = 0, b = 0.1, N = 50$; 2) $\alpha = 0.2, b = 0.84, N = 32$; 3) $\alpha = 0, b = 1, N = 50$. Здесь в виде графиков представлена зависимость двусторонних оценок δ_* от α , $0 < \alpha < 1$. Более точные значения оценок при некоторых α приведены в табл. 3.

Заметим, что при $b-\alpha \ll 1$ зависимость $\delta_*(\alpha)$ может быть встроена из решения задачи о прогибе пластинки под действием сосредоточенной нагрузки, причем сохраняется достаточная для практических целей точность вычисления δ_* . Пусть в безразмерных переменных x и y величина сосредоточенной нагрузки определяется через $(b-\alpha)b[1-U(\alpha)]$. В этом случае решение задачи имеет вид:

$$y(x) = \frac{(b-\alpha)b}{[1-y(\alpha)]^2} K(x, \alpha; \alpha),$$

где $y(\alpha)$ определяется из равенства

$$y(\alpha)[1-y(\alpha)]^2 = (b-\alpha)b K(\alpha, \alpha; \alpha).$$

Отсюда максимальное значение $(b-\alpha)b$, при котором решение задачи еще существует, равно

$$(b-\alpha)b = \frac{4}{27 K(\alpha, \alpha; \alpha)}$$

и совпадает с асимптотическим выражением (см. следствие 1, §2, 2). В частности, при $\alpha = 0, b = 0.1$

$$\delta_*(\alpha) = \frac{40}{27(1-2\alpha+b\frac{1}{2\alpha})}.$$

График этой функции нанесен на рис.12 пунктирной линией.

Таким образом, используя предложенный метод, можно получить двусторонние оценки решения интегрального уравнения вида

$$y(\xi) = \alpha \int G(\xi, \theta; \beta) f[y(0)] \varphi(\theta) d\theta,$$

являющегося интегральным представлением краевой задачи

$$\begin{aligned} \beta^2 \frac{d^4 y}{d\xi^4} &= \frac{d^2 y}{d\xi^2} + \alpha \varphi(\xi) f(y), \\ y = \frac{dy}{d\xi} &= 0 \text{ при } \xi = 0 \text{ и } \xi = 1. \end{aligned}$$

Здесь $\alpha > 0$ и $\beta > 0$ — параметры, $y(\xi)$ — симметричная относительно $\xi = \frac{1}{2}$ ступенчатая функция, причем

$$y(\xi) = \begin{cases} 0, 0 < \xi < \xi_1, \\ 1, \xi_1 < \xi < \xi_2, \\ 0, \xi_2 \leq \xi < \frac{1}{2}, \end{cases}$$

$f(y) > 0$, $0 \leq y \leq y_*$, — монотонно возрастающая с увеличением y функция, которая стремится к бесконечности при $y \rightarrow y_*$; $G(\xi, \theta; \beta)$ — функция Грина краевой задачи.

При этом оказывается, что в случае $\beta > 0$ существуют такие x_* и x_* , $x_* < x_*$, что интегральное уравнение имеет: а) единственное решение, если $0 < \alpha < x_*$; б) два решения, если $x_* < \alpha < x_*$; в) решения нет, если $\alpha > x_*$. При $\beta = 0$ $x_*=0$, и интегральное уравнение имеет либо два решения, либо ни одного. Этот вывод естественным образом обобщает рассмотренное решение (2.7) и иллюстрируется результатами, приведенными на рис.9.

5. К интегральному уравнению (2.7) сводится задача о "залипании" пластинки (см. § 1,2). Пусть требуется найти решение задачи:

$$\alpha^2 \frac{d^4 y}{dx^4} = \frac{d^2 y}{dx^2} + \varphi(x) \frac{\sigma}{(1-y)^2}, \quad \delta > \delta_*, \quad (2.32)$$

$y=y_*$, $\frac{dy}{dx} = \frac{d^3 y}{dx^3} = 0$ при $x=x_*$, $y=\frac{dy}{dx}=0$ при $x=1$, где x_* , $a < x_* < b$, соответствует правой границе области "залипания". Равенство нулю третьей производной при $x=x_*$ является естественным граничным условием.

Вместо x введем новую переменную η по формуле:

$$x = (1-x_*)\eta + x_*$$

При этом задача (2.32) примет вид:

$$\bar{\alpha}^2 \frac{d^4 y}{d\eta^4} = \frac{d^2 y}{d\eta^2} + \varphi(\eta) \frac{\delta}{(1-y)^2}, \quad (2.33)$$

$$y=y_*, \quad \frac{dy}{d\eta} = \frac{d^3 y}{d\eta^3} = 0 \text{ при } \eta=0, \quad y=\frac{dy}{d\eta}=0 \text{ при } \eta=1.$$

Здесь

$$\varphi(\eta) = \begin{cases} 1, 0 < \eta < \eta_0, \\ 0, \eta_0 < \eta < 1 \end{cases}$$

$$\eta_0 = \frac{\delta - x_*}{1 - x_*}, \quad \bar{\alpha} = \frac{\alpha}{1 - x_*}, \quad \bar{\delta} = (1 - x_*)^2 \delta.$$

Легко видеть, что решение (2.33) совпадает с (2.7), если в (2.7) подставить значения $\alpha=0$, $\beta=\eta_0$, $\delta=\bar{\delta}$ и $\alpha=\bar{\alpha}$. Пусть положение правой границы области "залипания" известно. Тогда из решения (2.33) мы можем найти $\bar{\delta}(y_*)$, соответствующее заданному x_* . После чего δ определяется из равенства

$$\delta = \frac{\bar{\delta}}{(1 - x_*)^2}.$$

§ 3. Определение напряжения и жесткости пластиинки при помощи резонанса

В силу технологических особенностей изготовления реле возникает задача об определении напряжения P . Кроме того, реальная жесткость пластиинки может значительно отличаться от D . Эти параметры: напряжение P и эффективная жесткость D_* могут быть рассчитаны в рамках принятой модели реле, если экспериментально замерены две резонансных частоты.

Пусть к пластиинке и неподвижным электродам приложена периодически меняющаяся разность потенциалов, пропорциональная $\cos(\Omega t)$, где t — время. За счет малости амплитуды U можно добиться выполнения условия $U(X, t) \ll H$, $0 < X < l$, $t > 0$.

При этом уравнение колебаний пластиинки имеет вид:

$$\frac{M}{\tau^2} \frac{\partial^2 Y}{\partial \xi^2} + D_* \frac{\partial^4 Y}{\partial X^4} = P \frac{\partial^2 Y}{\partial X^2} + Y(X) \frac{\varepsilon_0 U^2 \cos^2(\Omega t)}{2[H + \frac{1}{E}(d-H)]^2}, \quad (3.1)$$

$$Y = \frac{\partial Y}{\partial X} = 0 \text{ при } X=0 \text{ и } X=\ell; \quad Y = \frac{\partial Y}{\partial t} = 0 \text{ при } t=0,$$

где M и τ - масса и ширина пластиинки; остальные обозначения уже применялись ранее. Сопротивлением среды пренебрегаем. Таким образом, требуется найти P и D_* , если известны две, например, наименьшие резонансные частоты Ω .

В безразмерных переменных ξ , τ и $Y = Y(\xi, \tau)$

$$X = \ell \xi, \quad t = \sqrt{\frac{\ell M}{P}} \tau, \quad Y = [H + \frac{1}{E}(d-H)] y, \quad (3.2)$$

задача (3.1) записывается следующим образом:

$$\frac{\partial^2 y}{\partial \tau^2} + \beta_*^2 \frac{\partial^2 y}{\partial \xi^2} = \frac{\partial^2 y}{\partial \xi^2} + \psi(\xi) \alpha \cos^2(\omega \tau), \quad (3.3)$$

$$y = \frac{\partial y}{\partial \xi} = 0 \text{ при } \xi=0 \text{ и } \xi=1; \quad y = \frac{\partial y}{\partial \tau} = 0 \text{ при } \tau=0.$$

Здесь

$$\beta_*^2 = \frac{D_*}{\ell^2 P}, \quad \omega = \Omega \sqrt{\frac{\ell M}{P}}. \quad (3.4)$$

Как известно, явление резонанса наблюдается при совпадении частоты возбуждающей силы с одной из собственных частот. В случае (3.3) собственные частоты $\sqrt{\lambda_n}$ и соответствующие им собственные функции $f_n(\xi)$ определяются из решения краевой задачи [7]

$$\beta_*^2 \frac{\partial^2 f_n}{\partial \xi^2} = \frac{\partial^2 f_n}{\partial \xi^2} + \lambda_n f_n, \quad n=1, 2, \dots, \quad (3.5)$$

$$y_n = \frac{\partial f_n}{\partial \xi} = 0 \quad \text{при } \xi=0 \text{ и } \xi=1,$$

а условие резонанса имеет вид:

$$\omega = \frac{1}{2} \sqrt{\lambda_n}. \quad (3.6)$$

В данном параграфе мы приведем результаты решения (3.5) в зависимости от величины β_* , использование которых позволяет вычислить P и D_* .

I. Запишем общее решение (3.5), опуская индекс "n":

$$f(\xi) = A \sin(\alpha \xi) + B \cos(\alpha \xi) + C \operatorname{sh}(\beta \xi) + D \operatorname{ch}(\beta \xi).$$

Здесь A , B , C , D - постоянные интегрирования,

$$\alpha = \sqrt{\frac{1}{2\beta_*^2} [\sqrt{1+4\beta_*^2}\lambda - 1]}, \quad \beta = \sqrt{\frac{1}{2\beta_*^2} [\sqrt{1+4\beta_*^2}\lambda + 1]},$$

причем из выражений α и β следует равенства:

$$\frac{\alpha}{\beta} = \frac{\beta_* \alpha}{\sqrt{1+\beta_*^2 \alpha^2}}, \quad \beta = \frac{1}{\beta_*} \sqrt{1+\beta_*^2 \alpha^2}. \quad (3.7)$$

Потребовав выполнения граничных условий при $\xi=0$ и $\xi=1$, получим характеристическое уравнение, определяющее α и, следовательно,

$$\sqrt{\lambda} = \alpha \sqrt{1+\beta_*^2 \alpha^2},$$

$$\Delta(\alpha) = (1 - \frac{\alpha^2}{\beta^2}) \operatorname{th} \beta \sin \alpha - 2 \frac{\alpha}{\beta} (\cos \alpha - \frac{1}{\operatorname{ch} \beta}) = 0. \quad (3.8)$$

Обратимся к решению (3.8). Нетрудно видеть, что искомый корень $\Delta(\alpha)=0$ заключен между α_- и α_+ , $\alpha_- < \alpha < \alpha_+$, где левая граница α_- удовлетворяет уравнению

$$\sin \alpha = 0, \quad \alpha_- = \pi n, \quad n=1, 2, \dots, \quad (3.9)$$

а правая граница α_+ есть решение уравнения

$$\cos \alpha_+ = \frac{1}{\operatorname{ch} \beta_+}, \quad \beta_+ = \frac{1}{\beta_*} \sqrt{1+\beta_*^2 \alpha_+^2}. \quad (3.10)$$

Для определения α_+ воспользуемся методом решения трансцендентного уравнения вида: $\cos 2x \operatorname{ch} 2x = 1$, приведенного в [8]. Поскольку $\beta_+ > \pi$, то с достаточной точностью решение (3.10) можно записать в виде ряда:

$$\alpha_+ = A_0 + e^{-B_0} A_1 + e^{-2B_0} A_2 + e^{-3B_0} A_3 + \dots, \quad (3.11)$$

ограничившихся четырьмя первыми членами. Здесь

$$A_0 = \left(n + \frac{1}{2}\right)\pi, \quad B_0 = \frac{1}{\beta_*} \sqrt{1 + \beta_*^2 A_0^2}, \quad A_1 = 2(-1)^{n+1},$$

$$A_2 = -4 \frac{A_0}{B_0}, \quad A_3 = (-1)^{n+1} 2 \left[\theta \frac{A_0^4}{B_0^2} - \frac{1}{3} - \frac{2}{B_0} \left(1 - \frac{A_0^2}{B_0^2} \right) \right].$$

Вычислив значения α_- и α_+ , найдем искомый корень α , например, методом деления отрезка $[\alpha_-, \alpha_+]$ пополам.

Запишем выражения $f(\xi)$ и нормы Q ,

$$Q = \int_0^1 f^2(\xi) d\xi,$$

преобразованные к удобному для вычислений виду:

$$f(\xi) = \frac{1}{th b + \frac{\alpha \sin \alpha}{b \operatorname{ch} b}} \{ R(\xi) + S(\xi) \}, \quad (3.12)$$

где

$$R(\xi) = th b \sin(\alpha \xi) - \frac{\alpha}{b} \cos(\alpha \xi),$$

$$S(\xi) = \frac{\alpha}{b(1-e^{-2b})} \left\{ e^{-\delta \xi} [1 + e^{-2b(1-\xi)}] + 2e^{-\delta} \cos[\alpha(1-\xi)] + \right. \\ \left. + e^{-\delta(1-\xi)} (1 + e^{-2b\xi}) \cos \alpha - \frac{\alpha}{b} e^{-\delta(1-\xi)} (1 - e^{-2b\xi}) \sin \alpha \right\}.$$

Заметим, что $R(\xi)$ дает главное значение $f(\xi)$ за исключением малых окрестностей точек $\xi = 0$ и $\xi = 1$, в то время как $S(\xi)$ — функция типа погранслоя — ответственна лишь за выполнение граничных условий. Норма собственной функции может быть подсчитана по формуле

$$Q = \frac{\left(1 + \frac{\alpha^2}{b^2}\right)(th b - \frac{\alpha \sin \alpha}{b \operatorname{ch} b}) - \frac{2}{b}(1 - \frac{\alpha^2}{b^2})(1 - \frac{\cos \alpha}{\operatorname{ch} b})}{2(th b + \frac{\alpha \sin \alpha}{b \operatorname{ch} b})}. \quad (3.13)$$

Рассмотрим предельные случаи.

а) Пусть $\pi(n + \frac{1}{2})\beta_* \rightarrow 0$ при фиксированном n . Тогда из равенства (3.7) следует, что $\alpha/b \rightarrow 0$, $b \rightarrow \infty$ и в пределе

$$\Delta(Q) = \sin Q = 0, \quad Q = \sqrt{\lambda} = \pi n; \quad (3.14)$$

то есть мы получили характеристическое уравнение задачи

$$\frac{\alpha^2 f}{d\xi^2} + \lambda f = 0, \quad f = 0 \quad \text{при} \quad \xi = 0 \quad \text{и} \quad \xi = 1, \quad (3.15)$$

определяющей собственные частоты и собственные функции натянутой нежесткой пластинки [7]. Выражения $f(\xi)$ и Q после выполнения в (3.12) и (3.13) предельного перехода имеют вид:

$$f(\xi) = \sin(\alpha \xi), \quad Q = \frac{1}{2}. \quad (3.16)$$

б) Пусть $\pi n \beta_* \rightarrow \infty$ при фиксированном n . При этом $\alpha/b \rightarrow 1$, и в пределе

$$\Delta(Q) = -2(\cos \alpha - \frac{1}{ch \alpha}) = 0, \quad \sqrt{\lambda} = \beta_* \alpha^2. \quad (3.17)$$

Решение (3.17) можно представить в виде ряда (3.11), в котором $A_0 = B_0$

$$\alpha = A_0 + e^{-A_0} A_1 + e^{-2A_0} A_2 + e^{-3A_0} A_3 + \dots, \quad (3.18)$$

где

$$A_0 = \left(n + \frac{1}{2}\right)\pi, \quad A_1 = 2(-1)^{n+1}, \quad A_2 = -4, \quad A_3 = \frac{34}{3}(-1)^{n+1}$$

Нетрудно убедиться, что (3.17) является характеристическим уравнением задачи

$$\beta_*^2 \frac{d^2 f}{d\xi^2} = \lambda f, \quad f = \frac{df}{d\xi} = 0 \quad \text{при} \quad \xi = 0 \quad \text{и} \quad \xi = 1, \quad (3.19)$$

которая определяет собственные частоты и функции жесткой пластиинки без натяжения [7]. В этом случае

$$f(\xi) = \frac{1}{th \alpha + \frac{\sin \alpha}{ch \alpha}} \{ \bar{R}(\xi) + \bar{S}(\xi) \}, \quad (3.20)$$

где

$$\bar{R}(\xi) = \operatorname{th} \alpha \sin(\alpha \xi) - \cos(\alpha \xi),$$

$$\begin{aligned} \bar{S}(\xi) = & \frac{1}{1+e^{2\alpha}} \left\{ e^{-\alpha \xi} [1+e^{-2\alpha(1-\xi)}] + 2e^{-\alpha} \cos[\alpha(1-\xi)] + \right. \\ & \left. + e^{-\alpha(1-\xi)} (1+e^{-2\alpha}) \cos \alpha - e^{-\alpha(1-\xi)} (1-e^{-2\alpha}) \sin \alpha \right\}, \end{aligned}$$

а (3.13) преобразуется к виду:

$$Q = \frac{1 - \frac{\sin \alpha}{\operatorname{sh} \alpha}}{1 + \frac{\sin \alpha}{\operatorname{sh} \alpha}}. \quad (3.21)$$

Очевидно, мы придем к тому же результату, если будем увеличивать n при фиксированном β_* .

Построим асимптотическое решение (3.8) при $\beta_* \rightarrow \infty$, то есть в окрестности $\alpha = \alpha_*$. Пусть

$$\alpha = \alpha_* + \delta \alpha, \quad b = b_* + \frac{\alpha_*}{b_*} \delta \alpha + \frac{1}{2b_*} (1 - \frac{\alpha_*^2}{b_*^2}) (\delta \alpha)^2 + \dots$$

Подставив эти выражения в (3.8), найдем, что $\delta \alpha$ имеет порядок

$$\nu = \frac{\operatorname{th} b_* \sin \alpha_*}{2\beta_*^2 \alpha_* b_* C_* + S_*}, \quad (3.22)$$

$$C_* = \sin \alpha_* - \frac{\alpha_*}{b_*} \frac{\operatorname{sh} b_*}{\operatorname{ch}^2 b_*}, \quad S_* = \frac{\alpha_*}{b_*} \sin \alpha_* + \frac{\operatorname{sh} b_*}{\operatorname{ch}^2 b_*},$$

где $\nu \rightarrow 0$ при $\beta_* \rightarrow \infty$. Таким образом, асимптотическое решение (3.8) имеет вид:

$$\alpha = U_0 + \nu U_1 + \nu^2 U_2 + \dots, \quad \sqrt{\lambda} = \alpha \sqrt{1 + \beta_*^2 \alpha^2}. \quad (3.23)$$

Здесь

$$U_0 = \alpha_*, \quad U_1 = -1, \quad U_2 = -\frac{2\beta_*^2 b_* [(1 + \frac{\alpha_*^2}{b_*^2}) C_* + \alpha_* C_*] - S_*}{2\beta_*^2 \alpha_* b_* C_* + S_*},$$

$$C_* = \frac{\alpha_*}{b_*} \operatorname{th} b_* \sin \alpha_* + \frac{1}{2\operatorname{ch} b_*} (1 - \frac{\alpha_*^2}{b_*^2}) (1 - \frac{\operatorname{th} b_*}{b_*}),$$

$$S_* = \frac{1}{2} (1 - \frac{\alpha_*^2}{b_*^2}) (\operatorname{th} b_* - \frac{1}{b_*}) \sin \alpha_* - \frac{\alpha_*}{b_* \operatorname{ch} b_*}.$$

Результаты решения (3.8), $n = 1, 2, 3, 4, 5$, содержатся в табл. I-5. Здесь даны значения $\sqrt{\lambda_n}$, α_n и b_n в зависимости от β_* , $0 < \beta_* \leq 2$ и $\beta_* = \infty$. При $\beta_* > 2$ для вычисления α_n можно воспользоваться асимптотической формулой (3.23), точность которой оценивается следующими примерами: абсолютная ошибка при вычислении α_n по формуле (3.23) равна $2 \cdot 10^{-5}$, если $n=1$, $\beta_* = 1$, и $2 \cdot 10^{-6}$, если $n=1$, $\beta_* = 2$.

Для того чтобы нагляднее выделить предельные случаи (3.8), на рис. I-3 приведены зависимости α_n/b_n от β_* , $n=1, 2, 3, 4, 5$. Графики первых пяти собственных функций при некоторых β построены на рис. I-4-I-8. Интересно, что предельный случай (3.20) практически реализуется уже при β_* порядка единицы.

- 2. Пусть известны резонансные частоты Ω' и Ω'' , $\Omega' < \Omega''$. Согласно равенствам (3.4) и (3.6) отношение Ω''/Ω' является функцией только β_* . Например, если Ω' и Ω'' соответствуют λ_1 и λ_2 , то

$$\frac{\Omega'}{\Omega'} = \sqrt{\frac{\lambda_2}{\lambda_1}} = g(\beta_*). \quad (3.24)$$

Построив из решения (3.8) $g(\beta_*)$, можем отсюда найти β_* по заданному Ω''/Ω' и, следовательно, λ . При этом натяжение P и эффективная жесткость D_* вычисляются по формулам:

$$P = 4\Omega'^2 \frac{CM}{\pi \lambda}, \quad D_* = 4\Omega'^2 \frac{C'M}{\pi \lambda} \beta_*^2. \quad (3.25)$$

Знание этих величин позволяет рассчитать "напряжение срабатывания" реле, используя метод, предложенный в предыдущем параграфе.

Заметим, что решение (3.3) можно представить в виде ряда

$$U(\xi, \tau) = \sum_{n=1}^{\infty} U_n(\tau) f_n(\xi), \quad (3.26)$$

где

$$U_n(\tau) = \frac{1}{\sqrt{\lambda_n}} \int_0^{\tau} \sin[(\tau - \theta)\sqrt{\lambda_n}] \cos(\omega \theta) d\theta,$$

$$\delta_n = \frac{\alpha}{Q_n} \int_0^1 \psi(\xi) f_n(\xi) d\xi ,$$

или

$$u_n(\tau) = \delta_n \left[\frac{1 - \cos(\tau \sqrt{\lambda_n})}{2 \lambda_n} + \frac{1}{\lambda_n - 4\omega^2} \sin \frac{(N\lambda_n - 2\omega)\tau}{2} \sin \frac{(\sqrt{\lambda_n} + 2\omega)\tau}{2} \right],$$

$\sqrt{\lambda_n} \neq 2\omega$

Если $\sqrt{\lambda_n} = 2\omega$, то

$$u_n(\tau) = \delta_n \left[\frac{1 - \cos(\tau \sqrt{\lambda_n})}{2 \lambda_n} + \frac{\tau}{4\sqrt{\lambda_n}} \sin(\tau \sqrt{\lambda_n}) \right],$$

и при достаточно больших τ решение (3.3) описывается выражением (с точностью до малых порядка α)

$$y(\xi, \tau) = \frac{\delta_n}{4\sqrt{\lambda}} \tau \sin(\tau \sqrt{\lambda_n}) f_n(\xi). \quad (3.27)$$

Вычисление $f_n(\xi)$ показывает, что $f_{2k}(\xi) = -f_{2k}(1-\xi)$, $k=1, 2, \dots$. Так как $\psi(\xi)$ — симметричная относительно $\xi = \frac{1}{2}$ функция, то $f_{2k}=0$ и $u_{2k}(\xi)=0$. Таким образом, в случае симметрично распределенной возмущающей нагрузки условие резонанса имеет вид (3.6), где $n=2k-1$, $k=1, 2, \dots$. Однако на практике условие симметрии точно не выполняется. Поэтому при $\omega = \frac{1}{2}\sqrt{\lambda_{2k}}$ мы имеем медленно развивающийся во времени резонанс.

Необходимые для расчета P и D_* данные приведены на рис.19-22. На рис.19-21 построены зависимости $\sqrt{\lambda_i}/\lambda$, $\sqrt{\lambda_j}/\lambda$ и $\sqrt{\lambda_3}/\lambda_2$ от β_* , $0 < \beta_* < 1$. Заметим, что уже при $\beta_* = 1$ отношение собственных частот близко к предельному значению, обозначенному на рисунках пунктирной линией

$$\sqrt{\frac{\lambda_i}{\lambda_j}} = \frac{\alpha_i^2}{\alpha_j^2} = \frac{(2i+1)^2}{(2j+1)^2} \quad \text{при } \beta_* = 0,$$

$i, j = 1, 2, \dots, i \neq j$.

Здесь же приведены отношения собственных частот натянутой жесткой пластиинки с шарнирным закреплением концов [7]

$$\sqrt{\frac{\lambda_i}{\lambda_j}} = \frac{i}{j} \sqrt{\frac{1 + \pi^2 i^2 \beta_*^2}{1 + \pi^2 j^2 \beta_*^2}}, \quad i, j = 1, 2, \dots, i \neq j.$$

Сравнение двух случаев показывает, что способ закрепления концов пластиинки мало существен, если β_* имеет порядок 10^{-2} и менее.

После определения β_* значение λ может быть найдено из рис.22, где построены зависимости $\sqrt{\lambda}_1$ и $\sqrt{\lambda}_2$ от β_* , $0 < \beta_* < 1$.

Все численные результаты данной работы получены при помощи ЭВМ "БЭСМ-6" по программам, составленным Лукьяновой Р.Г., Шведовой К.В., а также Еншиной В.Ф.

Авторы выражают благодарность Дятлову В.Л. за внимание к работе.

ЛИТЕРАТУРА

1. В.Л.ДЯТЛОВ, Н.С.СОЛДАТЕНКОВ. Некоторые результаты исследований пленочных электростатических реле. Вычислительные системы. Труды I Всесоюзной конференции по вычислительным системам. Выпуск 5, Физико-технологические исследования, Новосибирск, "Наука" Сиб. отд., 1968.
2. С.П.ТИМОШЕНКО, С.ВОЛНОВСКИЙ-КРИТЕР, Пластиинки и оболочки, ФМ, 1963.
3. Современная математика для инженеров. Сборник статей под ред. Беккенбаха, ИЛ, 1959.
4. В.И.СИМНОВ. Курс высшей математики, том 4, Гостехиздат, 1957.
5. В.В.НЕМЦИКИЙ, В.В.СТЕПАНОВ, Качественная теория дифференциальных уравнений. Гостехиздат, 1949.
6. Ф.ТРИКОМИ. Интегральные уравнения, ИЛ, 1960.
7. Р.Б.САУСВЕЛЛ. Введение в теорию упругости, ИЛ, 1948.
8. Е.ЯНКЕ и Ф.ЭМДЕ. Таблицы функций с формулами и кривыми. Гостехиздат, 1949.

Поступила в редакцию
31 мая 1969 г.

Приложение

Таблица 1

Номер итерации	1	2	3	4
оценка сверху	0.059	0.144	0.140	0.140
с оценка снизу	0.042	0.104	0.102	0.102

Таблица 2

N	1	4	8	32
Разность между оценками β_*	3.21	0.22	0.11	0.02

Таблица 3

α	$\alpha=0, \beta=0.1, N=50$		$\alpha=0.2, \beta=0.84, N=32$		$\alpha=0, \beta=1, N=50$	
	Оценка β_*		Оценка β_*		Оценка β_*	
	снизу	сверху	снизу	сверху	снизу	сверху
0.0	I. 506		0.554		0.350	
0.1	I. 906	I. 908	0.733	0.749	0.437	0.445
0.2	2.502	2.504	I. 028	I. 055	0.586	0.596
0.3	3.425	3.427	I. 458	I. 499	0.810	0.825
0.4	4.700	4.703	2.036	2.096	I. 117	I. 139
0.5	6.333	6.337	2.769	2.853	I. 509	I. 539
0.6	8.327	8.331	3.661	3.774	I. 988	2.026
0.7	I0.682	I0.687	4.713	4.859	2.552	2.602
0.8	I3.398	I3.405	5.926	6.111	3.204	3.266
0.9	I6.477	I6.485	7.299	7.528	3.942	4.018
I.0	I9.917	I9.928	8.834	9.111	4.766	4.859
∞	I8.105	I8.114	8.117	8.282	4.339	4.424

β_*	$\sqrt{\lambda_1}$	a_1	B
0.00	3.1415927	3.1415927	∞
0.01	3.2072975	3.2056508	100.05137
0.02	3.2790071	3.2720085	50.106946
0.03	3.3570887	3.3403583	33.500285
0.04	3.4418667	3.4102836	25.231529
0.05	3.5336017	3.4812578	20.300718
0.06	3.6324708	3.5526564	17.041102
0.07	3.7385531	3.6237829	14.738163
0.08	3.8518223	3.6939075	13.034376
0.09	3.9721495	3.7623157	II. 730806
0.10	4.0993161	3.8283569	10.707769
0.12	4.3729547	3.9512857	9.2226408
0.14	4.6695203	4.0599295	8.2160475
0.16	4.9671396	4.1535651	7.5043056
0.18	5.3216572	4.2329583	6.9844208
0.20	5.6708214	4.2996722	6.5944818
0.22	6.0323447	4.3555339	6.2953818
0.24	6.4042973	4.4023200	6.0614794
0.26	6.7850702	4.4416110	5.8754411
0.28	7.1733298	4.4747469	5.7252478
0.30	7.5679717	4.5028340	5.6023767
0.35	8.5768690	4.5564572	5.3781565
0.40	9.6097465	4.5936650	5.2298908
0.45	10.659762	4.6203421	5.1269711
0.50	II. 722375	4.6400325	5.052123
0.55	I2. 794480	4.6549378	4.9974224
0.60	I3. 873896	4.6664703	4.9551713
0.65	I4. 959052	4.6755644	4.9221709
0.70	I6. 048792	4.6828553	4.8959116
0.75	I7. 142244	4.6887861	4.8746787
0.80	I8. 238746	4.6936727	4.8572692
0.85	I9. 337779	4.6977451	4.8428187
0.90	20.438937	4.7011736	4.8306937
0.95	21.541895	4.7040864	4.8204214
I.00	22.646391	4.7065816	4.8116432
I.10	24.859178	4.7106058	4.7975258
I.20	27.075993	4.7136798	4.7867757
I.30	29.295924	4.7160800	4.7784021
I.40	31.518313	4.7179894	4.7717531
I.50	33.742674	4.7195330	4.7663860
I.60	35.968643	4.7207984	4.7619915
I.70	38.195938	4.7218486	4.7583480
I.80	40.424341	4.7227298	4.7552937
I.90	42.653678	4.7233476	4.7527082
2.00	44.883809	4.7241140	4.7505003
∞	∞	4.7300410	4.7300410

Таблица 6

β_*	$\sqrt{\lambda}_3$	a_3	b_3
0.00	9.4247780	9.4247780	∞
0.01	9.6599770	9.6156261	100.46124
0.02	9.9917480	9.8049998	50.952311
0.03	10.421771	9.9835975	34.796312
0.04	10.947322	10.144053	26.979655
0.05	11.561848	10.282486	22.488431
0.06	12.256330	10.398452	19.644480
0.07	13.020762	10.493826	17.725745
0.08	13.845283	10.571543	16.370935
0.09	14.720854	10.634707	15.380305
0.10	15.639549	10.686142	14.639356
0.12	17.580356	10.768864	13.611895
0.14	19.625845	10.815573	12.961367
0.16	21.747157	10.852862	12.523861
0.18	23.924433	10.879995	12.216321
0.20	26.143838	10.900252	11.992309
0.22	28.395573	10.915721	11.824302
0.24	30.672558	10.927773	11.695185
0.26	32.969587	10.937330	11.593881
0.28	35.282760	10.945026	11.512979
0.30	37.609106	10.951309	11.447370
0.35	43.468732	10.962746	11.328948
0.40	49.373069	10.970288	11.251543
0.45	55.307818	10.975515	11.198223
0.50	61.264150	10.979281	11.159956
0.55	67.236333	10.982084	11.131574
0.60	73.220492	10.98424	11.109348
0.65	79.213913	10.985894	11.093094
0.70	85.214643	10.987223	11.079706
0.75	91.221240	10.988297	11.068896
0.80	97.232617	10.989178	11.060042
0.85	103.24794	10.989909	11.052700
0.90	109.26656	10.990522	11.046544
0.95	115.28795	10.991041	11.041332
1.00	121.31171	10.991485	11.036881
1.10	133.36504	10.992198	11.029727
1.20	145.42451	10.992742	11.024283
1.30	157.48872	10.993165	11.020045
1.40	169.55665	10.993501	11.016681
1.50	181.62756	10.993772	11.013967
1.60	193.70089	10.993994	11.011745
1.70	205.77622	10.994178	11.009903
1.80	217.85322	10.994332	11.008360
1.90	229.93162	10.994463	11.007053
2.00	242.01121	10.994574	11.005938
∞	∞	10.995608	10.995608

Таблица 5

β_*	$\sqrt{\lambda}_2$	α_2	b_2
0.00	6.2831853	6.2831853	∞
0.01	6.4241290	6.4109678	100.20529
0.02	6.5969193	6.5411812	50.426055
0.03	6.8029885	6.6707229	33.994259
0.04	7.0429426	6.7962851	25.907325
0.05	7.3164634	6.9148362	21.161639
0.06	7.6223584	7.0240536	18.086324
0.07	7.9587397	7.1225571	15.962846
0.08	8.3232623	7.2098991	14.430268
0.09	8.7133594	7.2863768	13.287140
0.10	9.1264311	7.3527763	12.412225
0.12	10.011668	7.4595787	11.184353
0.14	10.961277	7.5389475	10.385381
0.16	11.961041	7.5983259	9.8385495
0.18	12.999973	7.6433176	9.4490476
0.20	14.069721	7.6779239	9.1624514
0.22	15.163949	7.7049543	8.9458078
0.24	16.277832	7.7263822	8.7782739
0.26	17.407665	7.7436053	8.6461739
0.28	18.550579	7.7576263	8.5402499
0.30	19.704326	7.7691741	8.4540628
0.35	22.625283	7.7904277	8.2978328
0.40	25.584263	7.8046110	8.1952397
0.45	28.569522	7.8145177	8.1243436
0.50	31.573641	7.8216971	8.0733478
0.55	34.591723	7.8270598	8.0354620
0.60	37.620418	7.8311678	8.0065577
0.65	40.657361	7.8343824	7.9840098
0.70	43.700835	7.8369442	7.9660850
0.75	46.749567	7.8390181	7.9516025
0.80	49.802593	7.8407202	7.9397351
0.85	52.859170	7.8421341	7.9298897
0.90	55.918716	7.8433213	7.9216322
0.95	58.980770	7.8443277	7.9146390
1.00	62.044961	7.8451881	7.9086646
1.10	68.178602	7.8465726	7.8990599
1.20	74.317808	7.8476275	7.8917490
1.30	80.461307	7.8484497	7.8860559
1.40	86.608185	7.8491027	7.8815365
1.50	92.757771	7.8496300	7.8778890
1.60	98.909560	7.8500619	7.8749029
1.70	105.06317	7.8504200	7.8724275
1.80	111.21829	7.8507203	7.8703526
1.90	117.37468	7.8509745	7.8685963
2.00	123.53217	7.8511192	7.8670966
∞	∞	7.8532046	7.8532046

Таблица 7

β_*	$\sqrt{\lambda}_4$	a_4	b_4
0.00	I2.56637I	I2.56637I	∞
0.01	I2.924222	I2.819318	100.81833
0.02	I3.499809	I3.061498	51.677875
0.03	I4.289142	I3.275115	35.879518
0.04	I5.274839	I3.451343	28.389058
0.05	I6.431247	I3.590450	24.180578
0.06	I7.730417	I3.697804	21.573308
0.07	I9.146221	I3.780090	19.848741
0.08	I0.656238	I3.843352	18.651767
0.09	I2.242116	I3.892399	17.789197
0.10	I3.889205	I3.930846	17.148424
0.12	I2.323231	I3.985837	16.280297
0.14	I0.892245	I4.022068	15.736544
0.16	I4.554786	I4.046976	15.374655
0.18	I8.284163	I4.064736	15.122202
0.20	I4.062668	I4.077801	14.939360
0.22	I5.878196	I4.087668	14.802823
0.24	I4.9722243	I4.095291	14.698243
0.26	I5.588682	I4.101296	14.616410
0.28	I5.472999	I4.106105	14.551196
0.30	I6.371803	I4.110016	14.498402
0.35	I7.166563	I4.117095	14.403320
0.40	I8.1009736	I4.121737	14.341320
0.45	I9.0885600	I4.124941	14.298679
0.50	I10.78455	I4.127244	14.268112
0.55	I10.70039	I4.128954	14.245459
0.60	I12.062896	I4.130257	14.228210
0.65	I13.056736	I4.131274	14.214773
0.70	I14.051349	I4.132082	14.204104
0.75	I15.046584	I4.132735	14.195491
0.80	I16.042323	I4.133270	14.188439
0.85	I17.038479	I4.133713	14.182592
0.90	I18.034983	I4.134085	14.177691
0.95	I19.031779	I4.134400	14.173542
1.00	I20.028825	I4.134669	14.169999
1.10	I22.023528	I4.135102	14.164305
1.20	I24.018879	I4.135431	14.159973
1.30	I26.014727	I4.135687	14.156601
1.40	I28.010968	I4.135890	14.153925
1.50	I30.007521	I4.136055	14.151766
1.60	I32.004329	I4.136189	14.149999
1.70	I34.001348	I4.136300	14.148534
1.80	I35.998541	I4.136394	14.147306
1.90	I37.995881	I4.136473	14.146267
2.00	I39.993347	I4.136540	14.145380
∞	∞	I4.137165	I4.137165

Таблица 8

β_*	$\sqrt{\lambda}_5$	a_5	b_5
0.00	I5.707963	I5.707963	∞
0.01	I6.226096	I6.021763	I0.127535
0.02	I7.155086	I6.309370	52.592733
0.03	I8.470480	I6.544653	37.213393
0.04	I9.119200	I6.722827	30.077449
0.05	I10.038138	I6.852784	26.153706
0.06	I11.168482	I6.946723	23.769081
0.07	I12.461747	I7.015112	22.217013
0.08	I13.880330	I7.065636	21.153863
0.09	I14.395857	I7.103621	20.395848
0.10	I15.987098	I7.132693	19.837569
0.12	I17.336993	I7.173231	19.088329
0.14	I18.843595	I7.199285	18.623529
0.16	I19.455800	I7.216903	18.316229
0.18	I20.142019	I7.229322	18.102866
0.20	I21.881884	I7.238382	I7.948867
0.22	I22.661760	I7.245183	I7.834166
0.24	I23.472212	I7.250412	I7.764877
0.26	I24.306526	I7.254516	I7.677987
0.28	I25.159798	I7.257794	I7.623466
0.30	I26.028375	I7.260452	I7.579372
0.35	I27.57504	I7.265251	I7.500062
0.40	I28.1205224	I7.268388	I7.448417
0.45	I29.328889	I7.270549	I7.412930
0.50	I30.159539	I7.272100	I7.387508
0.55	I31.00743	I7.273250	I7.368678
0.60	I32.86867	I7.274127	I7.354343
0.65	I34.74009	I7.274810	I7.343181
0.70	I35.61952	I7.275352	I7.334319
0.75	I36.50537	I7.275790	I7.321677
0.80	I37.39644	I7.276149	I7.321311
0.85	I38.29182	I7.276446	I7.316457
0.90	I39.19078	I7.276696	I7.312388
0.95	I40.09277	I7.276907	I7.308944
1.00	I41.99733	I7.277087	I7.306003
1.10	I42.81277	I7.277377	I7.301278
1.20	I43.63489	I7.277598	I7.297683
1.30	I44.46214	I7.277770	I7.294885
1.40	I45.29343	I7.277906	I7.292664
1.50	I46.12796	I7.278016	I7.290873
1.60	I47.96510	I7.278106	I7.289406
1.70	I48.80442	I7.278180	I7.288191
1.80	I49.64553	I7.278243	I7.287172
1.90	I50.48817	I7.278296	I7.286310
2.00	I51.33209	I7.278341	I7.285574
∞	∞	I7.278560	I7.278560

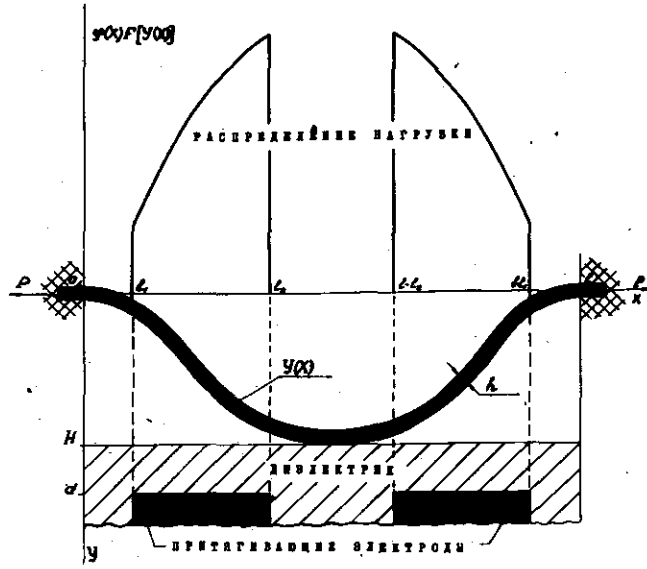


Рис. 1.

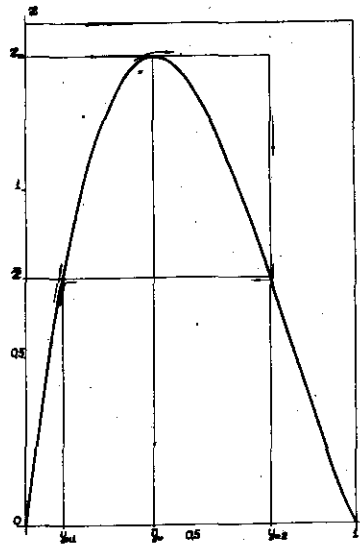


Рис. 2.

42

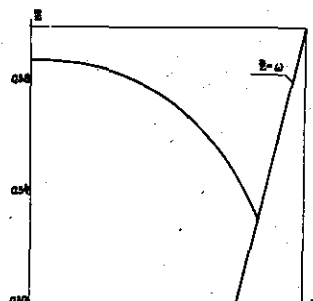


Рис. 3.

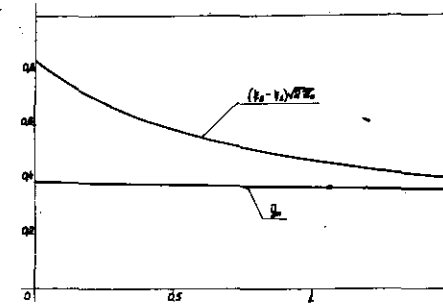


Рис. 4.

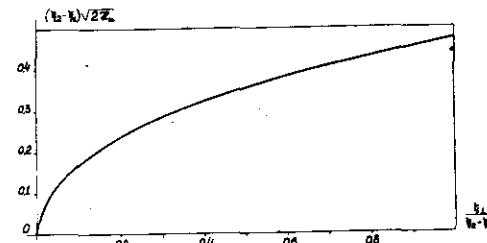


Рис. 5.

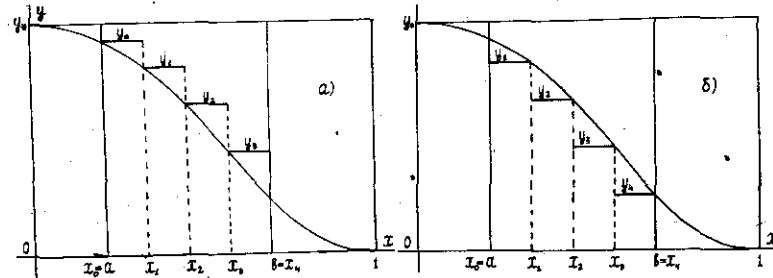


Рис. 6.

43

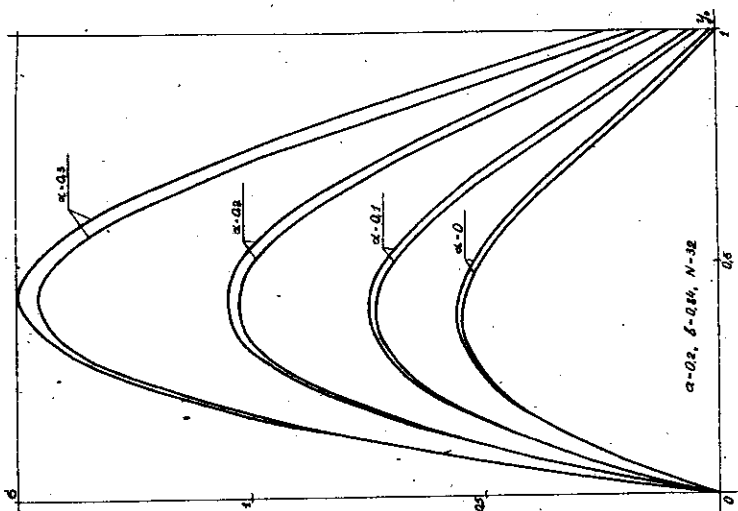


FIG. 7.

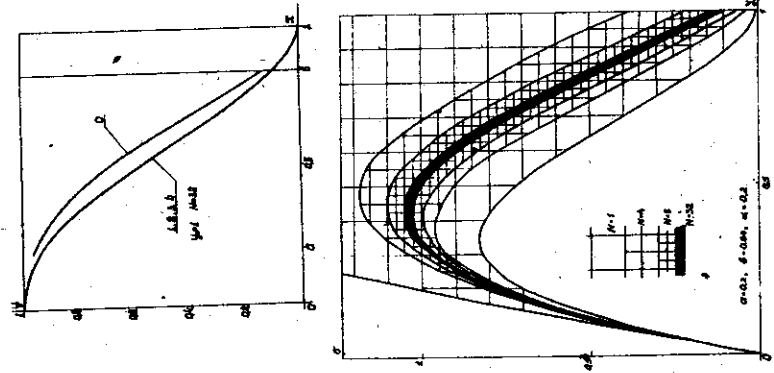


FIG. 8.

FIG. 9.

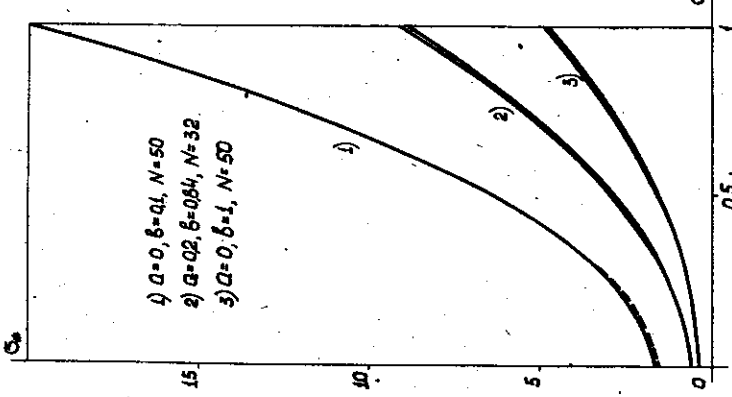


FIG. 10.

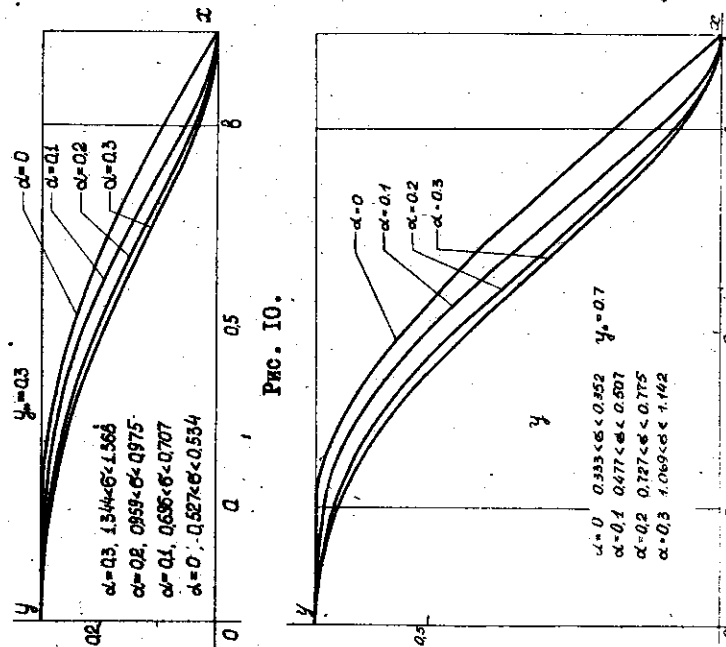


FIG. 11.

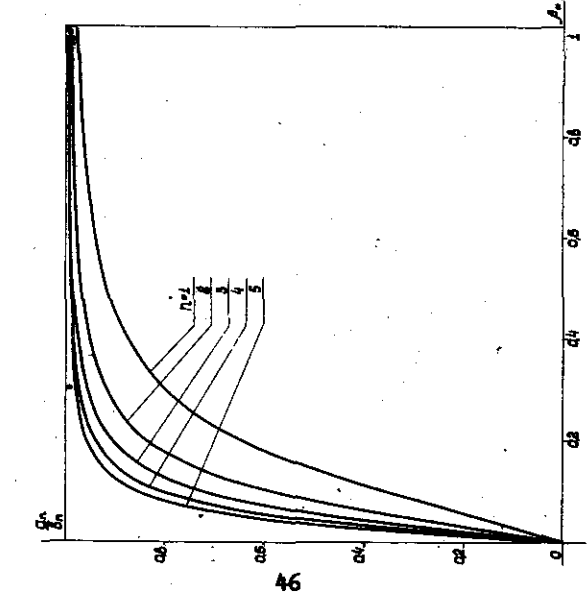


FIG. 13.

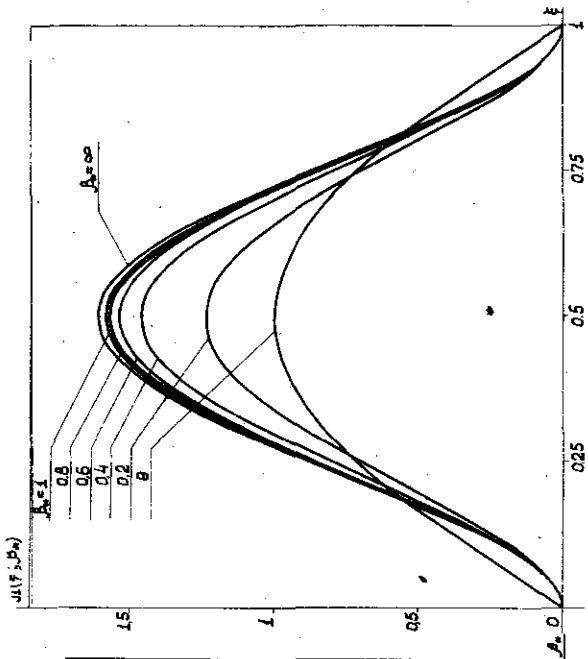


FIG. 14.

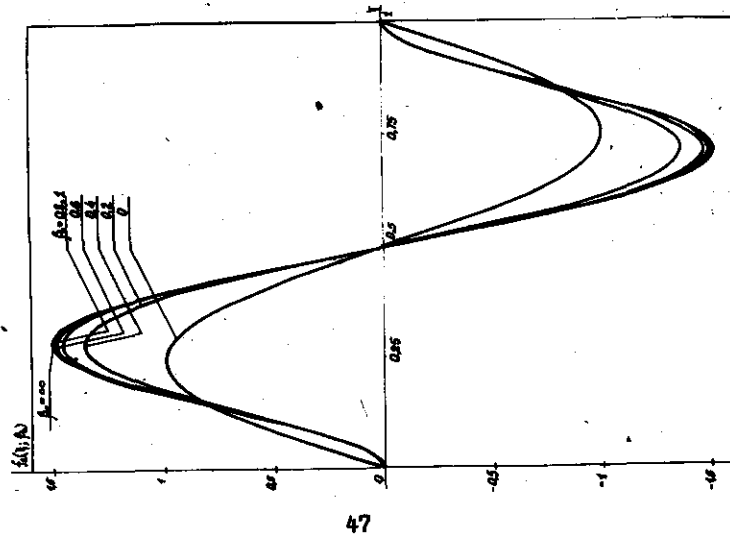


FIG. 15.

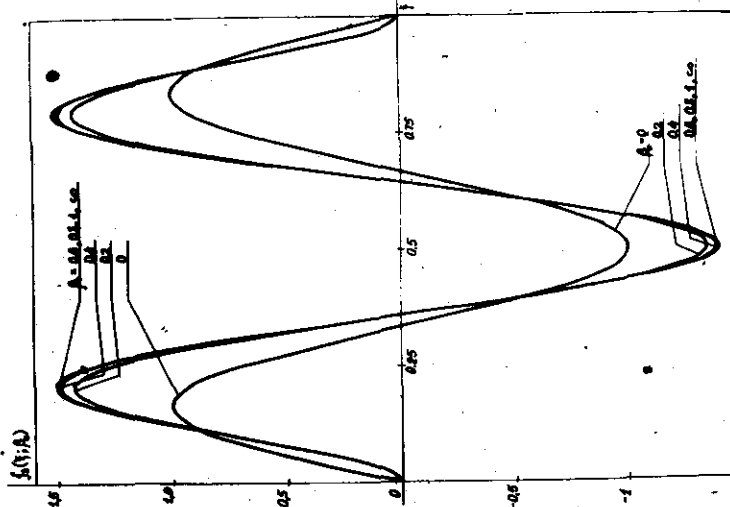


FIG. 16.

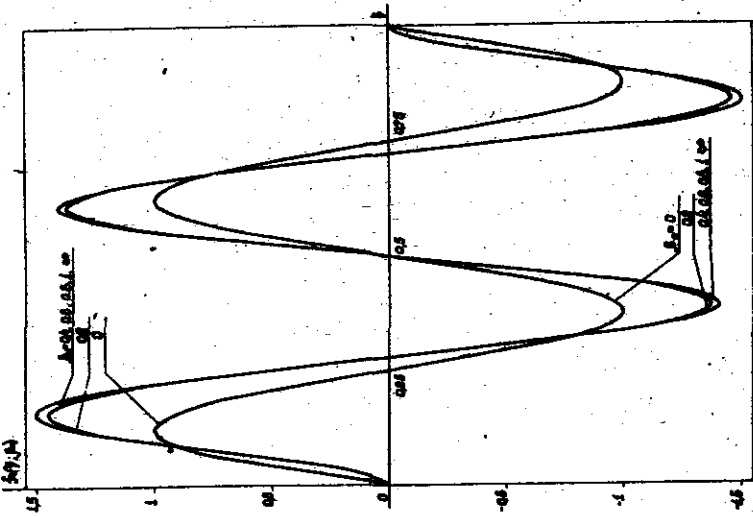


FIG. 17.

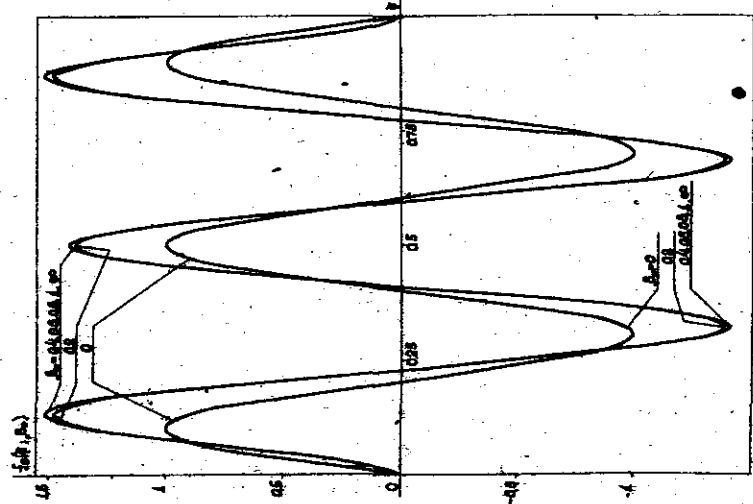


FIG. 18.

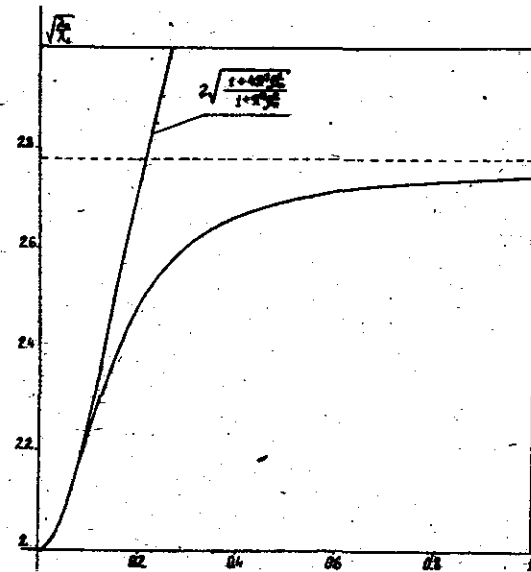


FIG. 19.

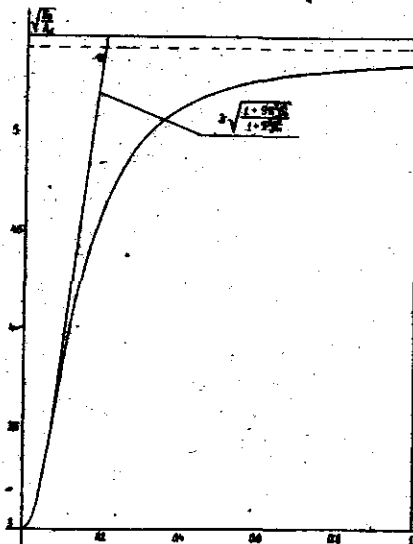


FIG. 20.

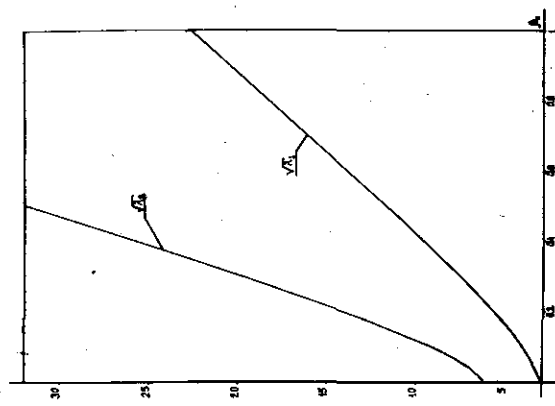


FIG. 22.

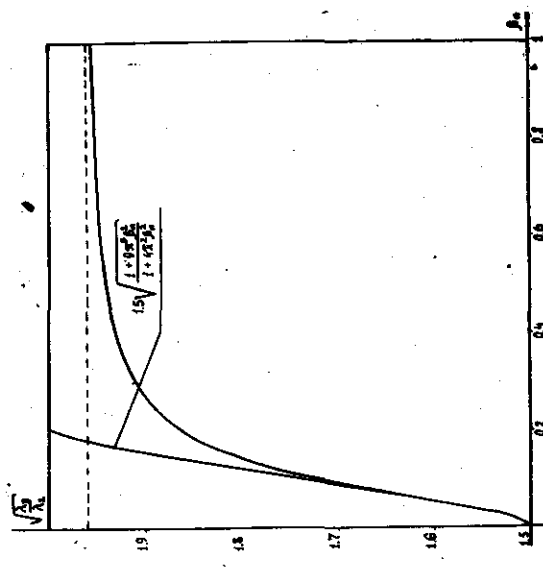


FIG. 21